Medicina Nucleare

Strumentazione biomedica e bioimmagini

Laurea in Ingegneria Informatica, Biomedica e delle Telecomunicazioni

Fabio Baselice



Sommario

- Radioattività
- Generatore
- Camera Gamma
- Scintigrafia planare
- > SPECT
- > PET

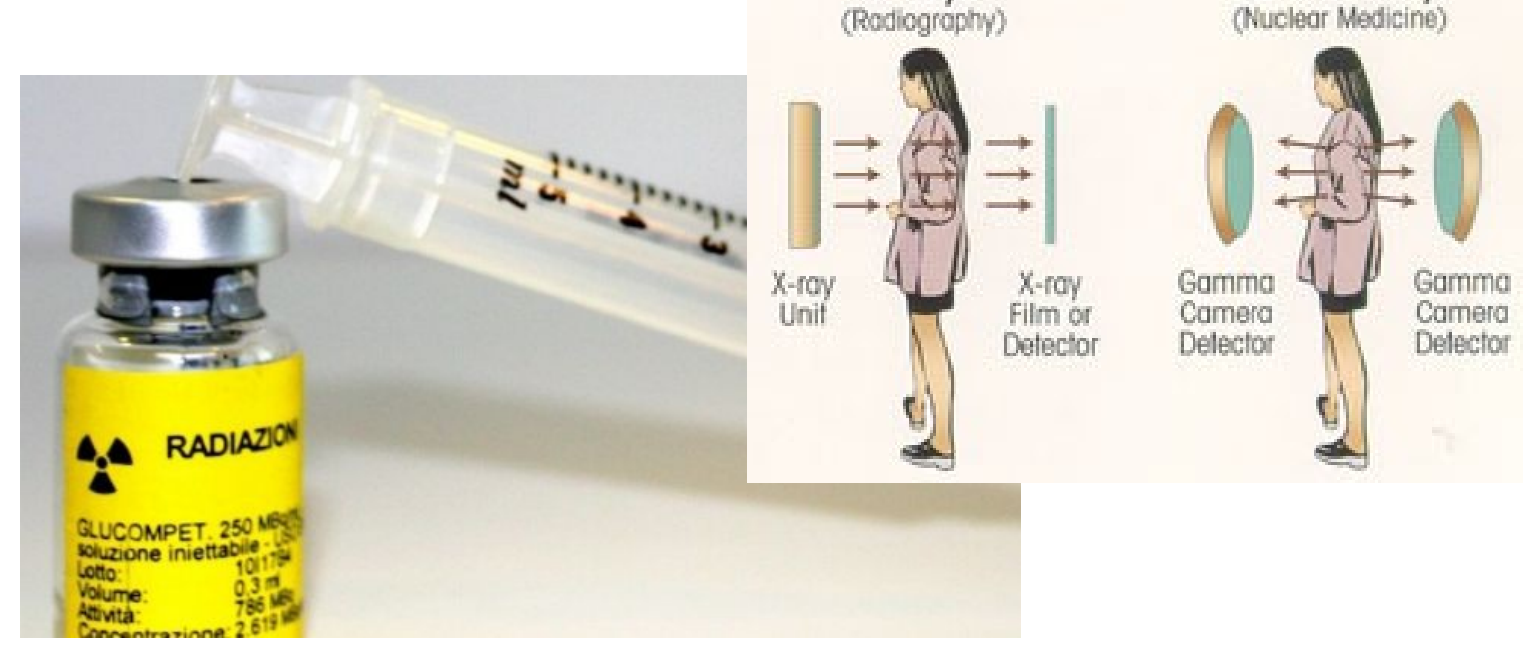


Medicina nucleare

L'imaging biomedico nucleare (anche detto medicina nucleare o imaging molecolare) sfrutta le radiazioni emesse dai corpi a valle dell'assunzione di radiofarmaci in grado di marcare una funzione biochimica specifica

X-rays







Gamma Rays

Medicina nucleare





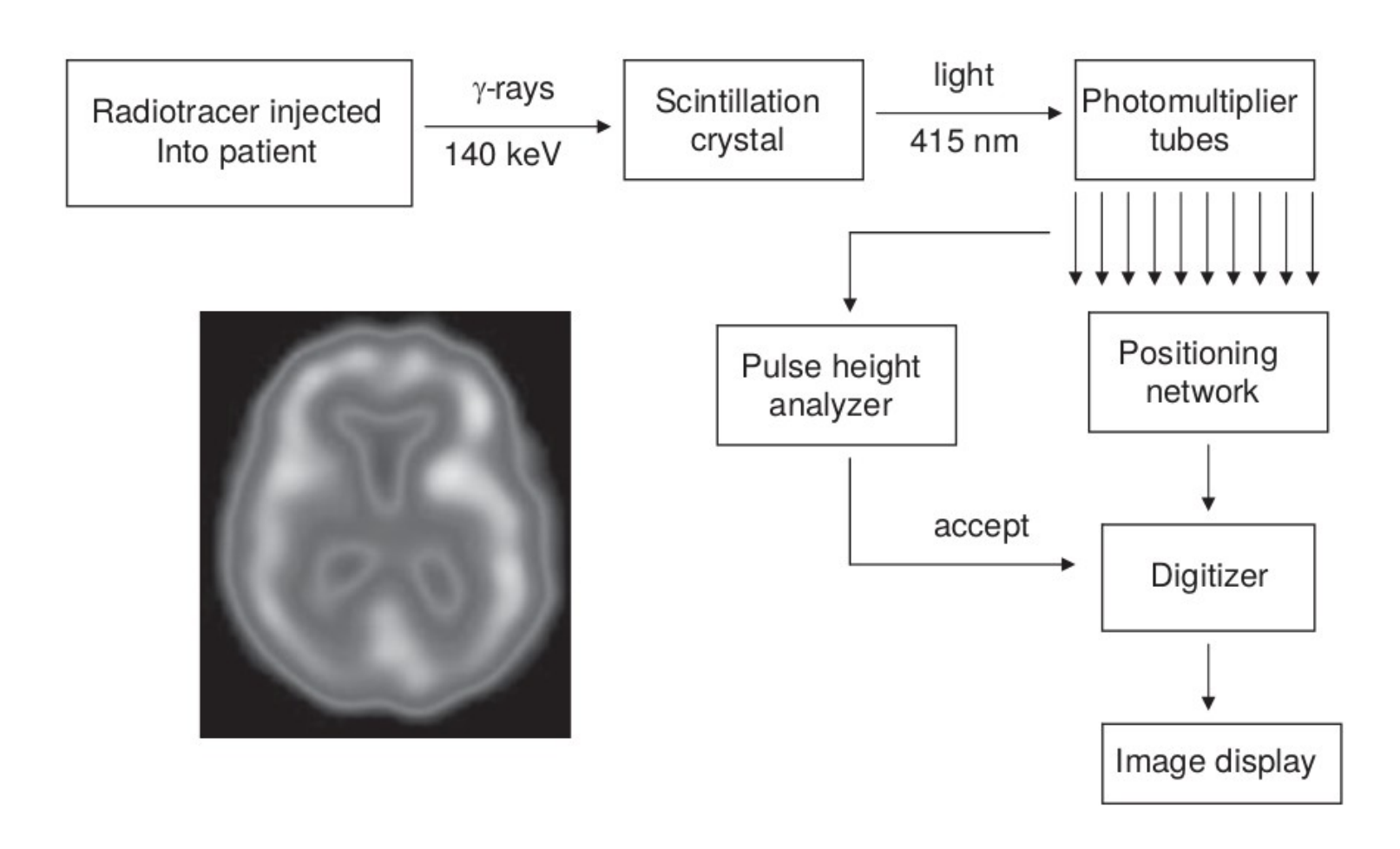
Tipi di Indagine

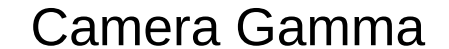
La medicina nucleare si articola essenzialmente in tre tipi di indagine

- Scintigrafia Planare
- Single Photon Emission Computed Tomography (SPECT)
- Positron Emission Tomography (PET)



Schema a blocchi







Radioattività ed half-life

La radioattività è definita come:

$$Q = \frac{-dN}{dt} = \lambda N$$

dove N indica il numero di nuclei di un particolare isotopo radioattivo e λ è la costante di decadimento.

La radioattività si misura in curie (Ci). 1 Ci equivale a 3.7×10^{10} disintegrazioni al secondo (ovvero quelle prodotte da 1 grammo di radio).

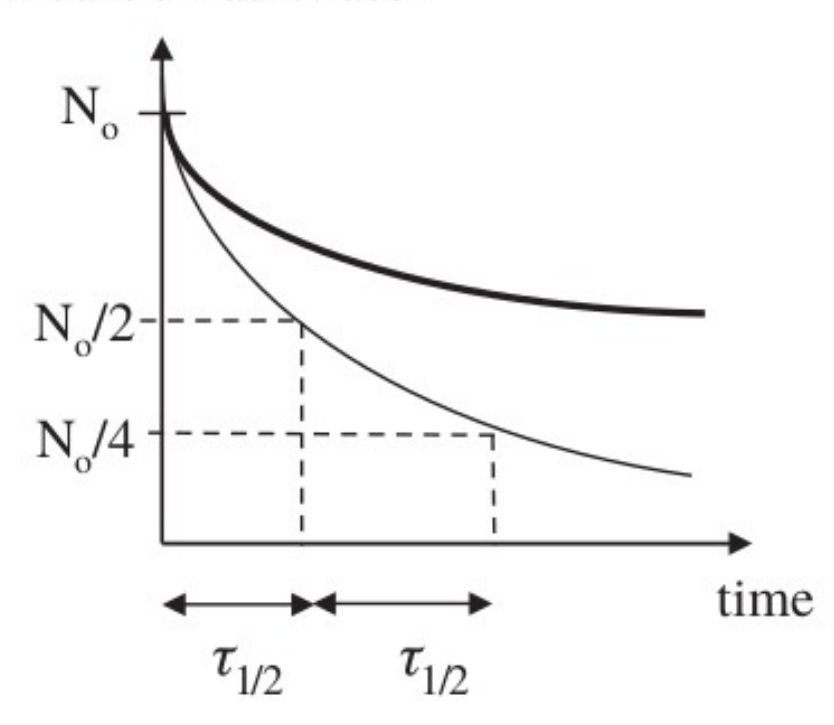
La soluzione dell'equazione è data da

$$N(t)=N(t=0)e^{-\lambda t}$$



Radioattività ed half-life

Amount of radiotracer



$$\tau_{1/2} = \frac{\ln 2}{\lambda}$$
 è definito come il valore half-life.



Radioattività ed half-life

Oltre a questo tempo, va considerato anche il tempo di permanenza del radiotracciante all'interno del corpo umano, definito dalla constante di tempo

$$au_{1/2,bio}$$

Per considerare entrambi gli effetti, viene definito un valore di half-life effettivo:

$$\tau_{1/2,eff} = \frac{\tau_{1/2} \tau_{1/2,bio}}{\tau_{1/2} + \tau_{1/2,bio}}$$



Proprietà ideali dei radiotraccianti

- Valore half-life corretto (né alto né basso)
- Emissione di raggi γ monoenergetici (per distinguere Compton) senza particelle α o β .
- Energia superiore a 100 keV (uscire dal corpo)
- Energia inferiore a 200 keV (collimatori)
- Alto assorbimento da parte dell'organo di interesse e basso negli altri.



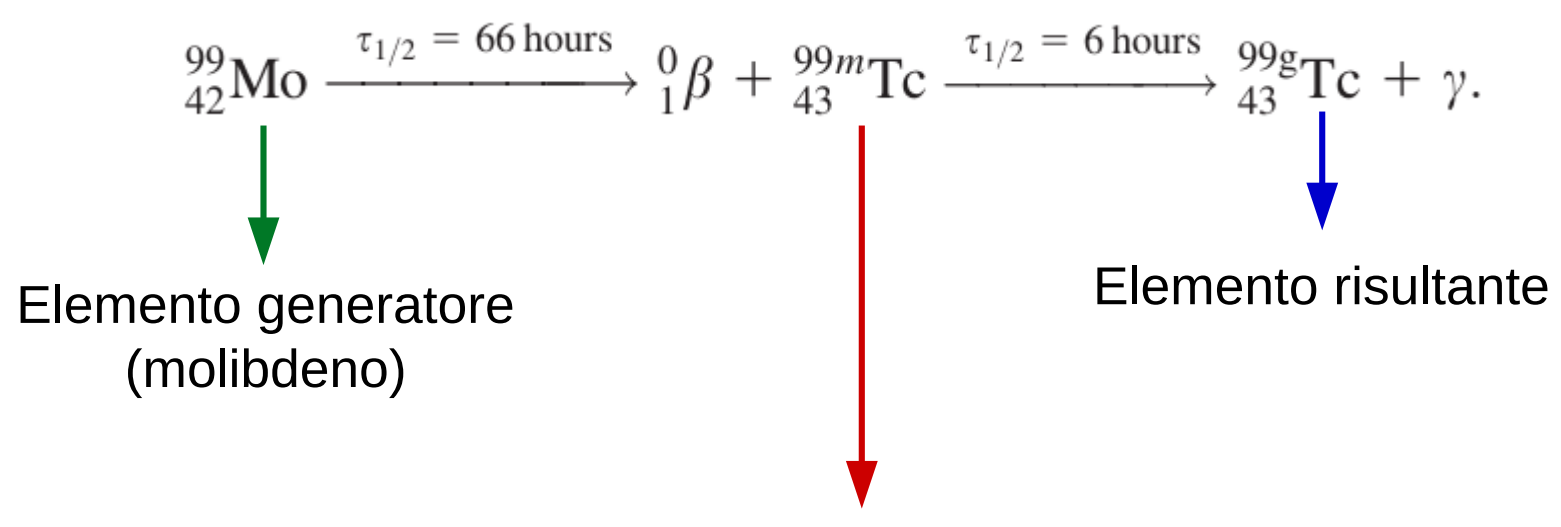
Radiotraccianti

Radiotracer	Half-life (hours)	γ-ray energy (keV)	Clinical application
^{99m} Tc	6.0	140	various
⁶⁷ Ga	76.8	93, 185, 300, 394	tumour detection
²⁰¹ TI	72	167, 68-82 (X-rays)	myocardial viability
¹³³ Xe	127.2	81	lung ventilation
¹¹¹ ln	67.2	171, 245	inflammation



Produzione del tecnezio

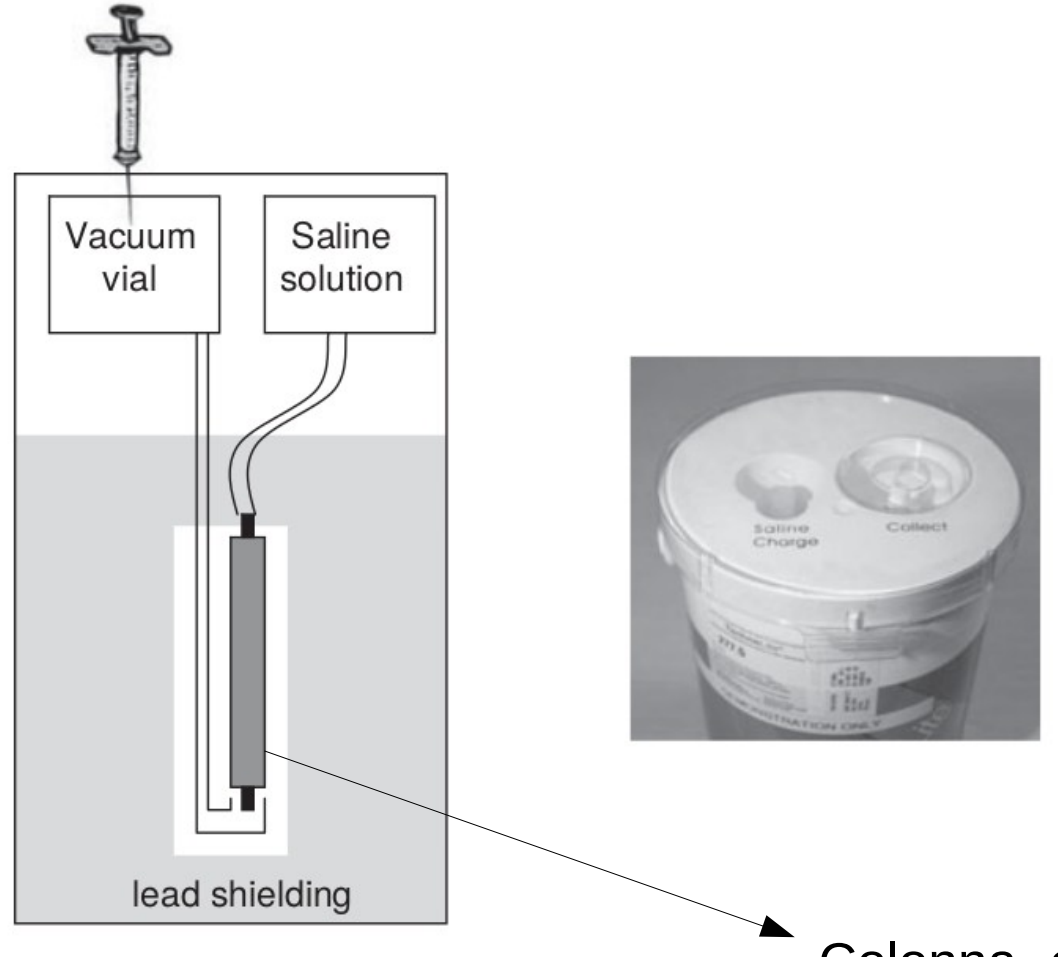
Schema di decadimento:

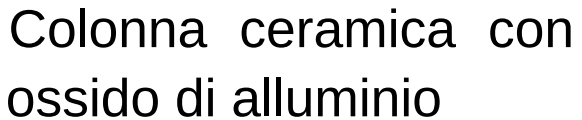


Radiotracciante utilizzato



Generatore di tecnezio

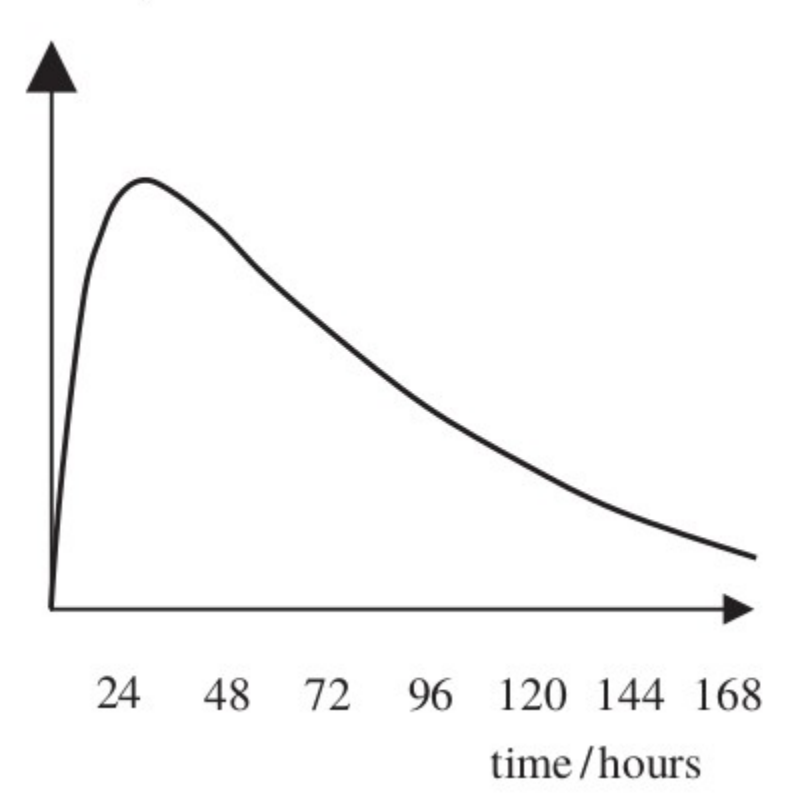






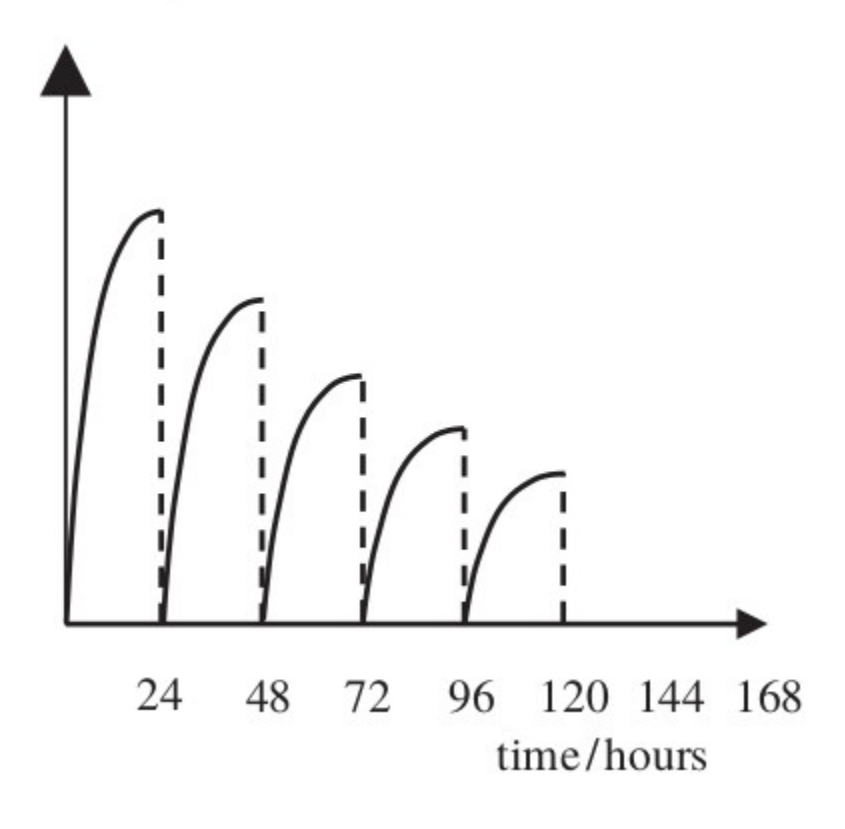
Radioattività del tecnezio

Radioactivity of 99mTc



Senza mungitura

Radioactivity of 99mTc



Mungiture ogni 24h



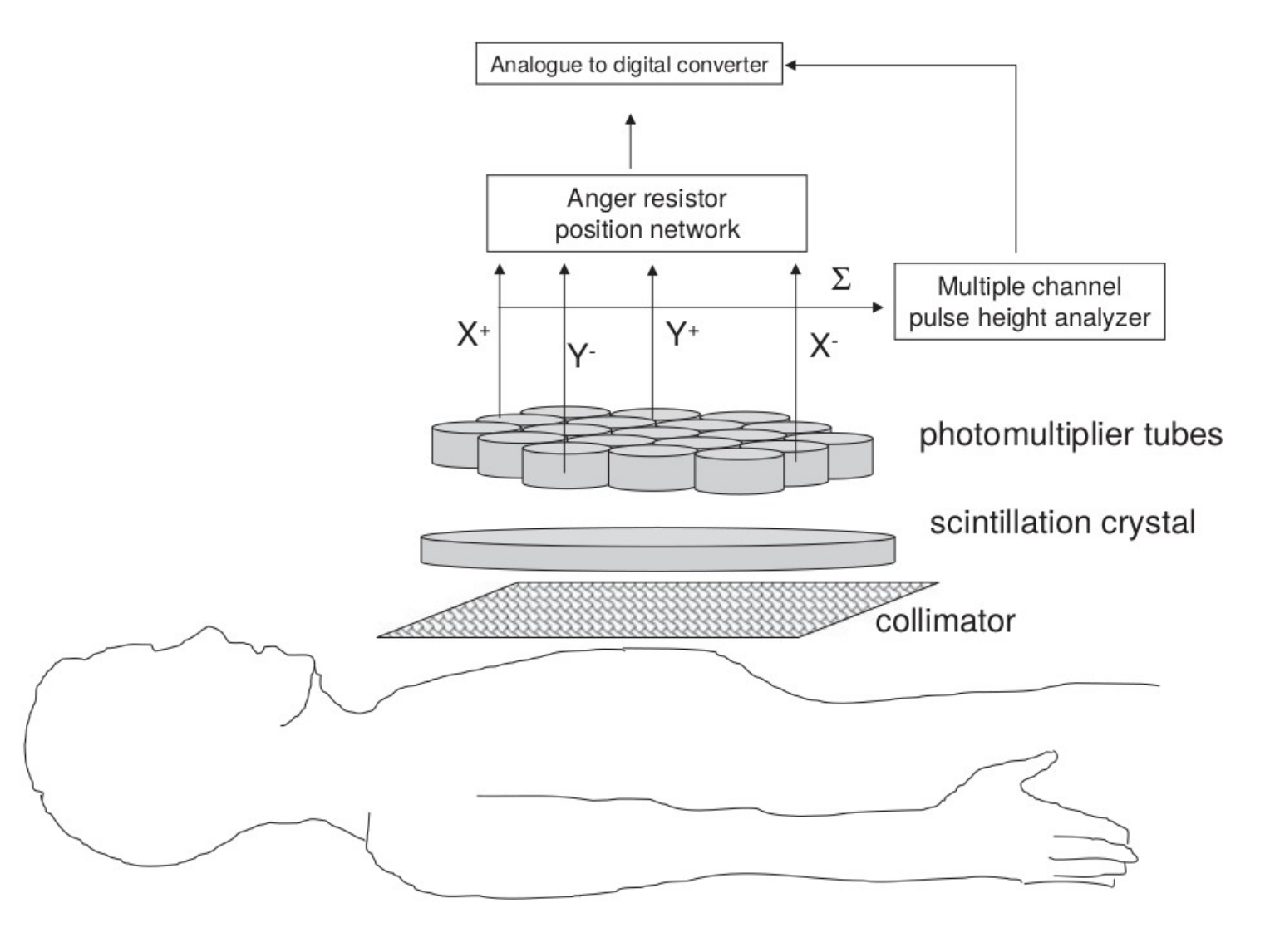
Distribuzione nel corpo

Il radiotracciante va legato ad un elemento chimico 'metabolico', cruciale anche nel :

- Proteggere l'organismo dallo ione di metallo 'grezzo'.
- Evitare che il radiotracciante si frammenti nell'organismo.
- Fornire selettività al radiotracciante.
- Evitare che si leghi alle proteine del sangue o ad altri elementi fortemente attrattivi.

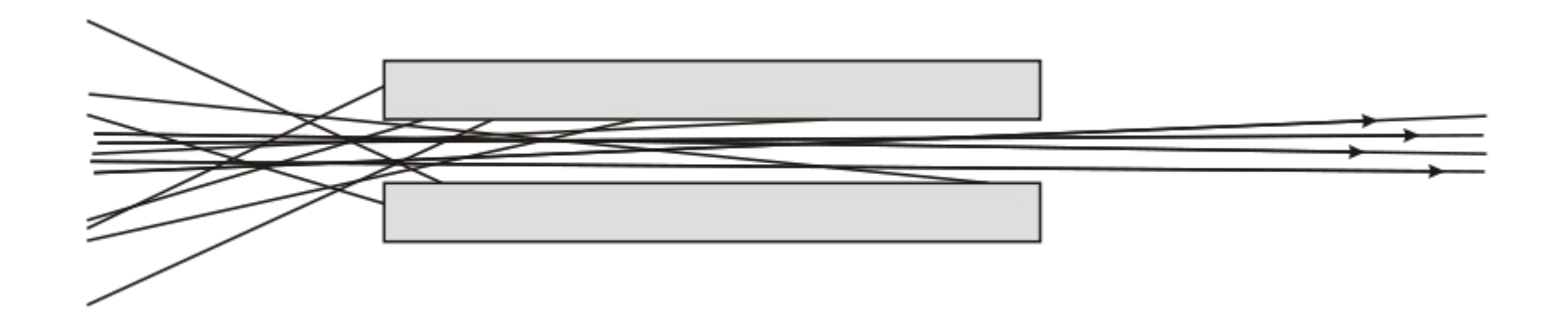


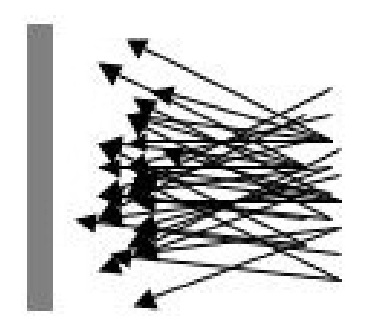
Camera Gamma

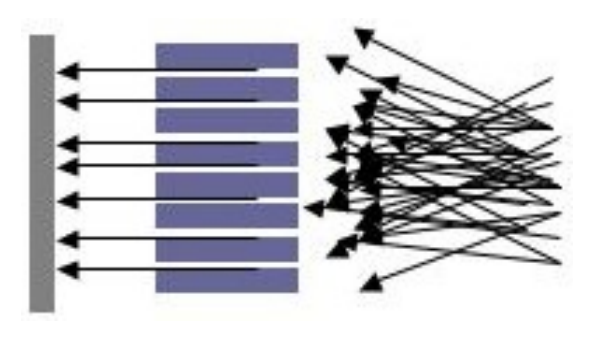




Collimatori

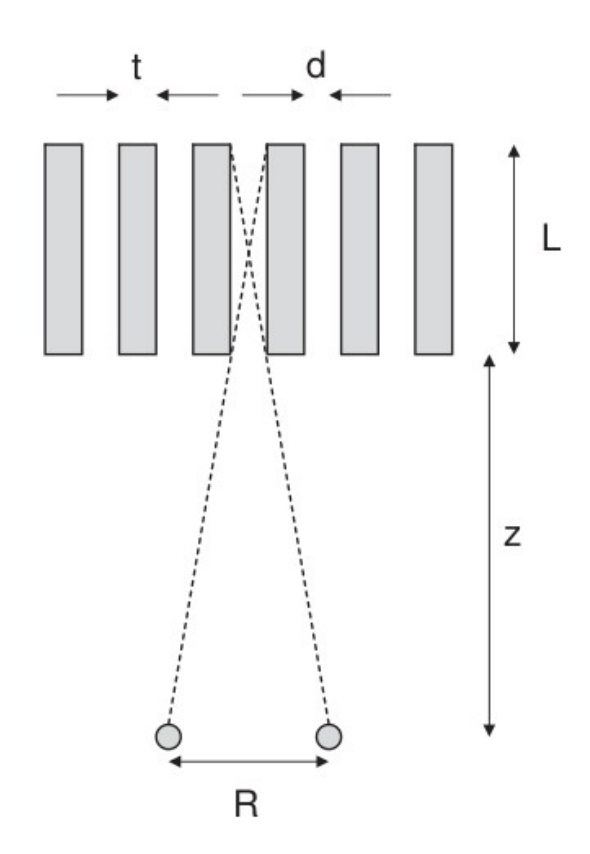








Collimatori



Lunghezza spaziale effettiva:

$$L_{eff} = L - \frac{2}{\mu_{septa}}$$

Risoluzione:

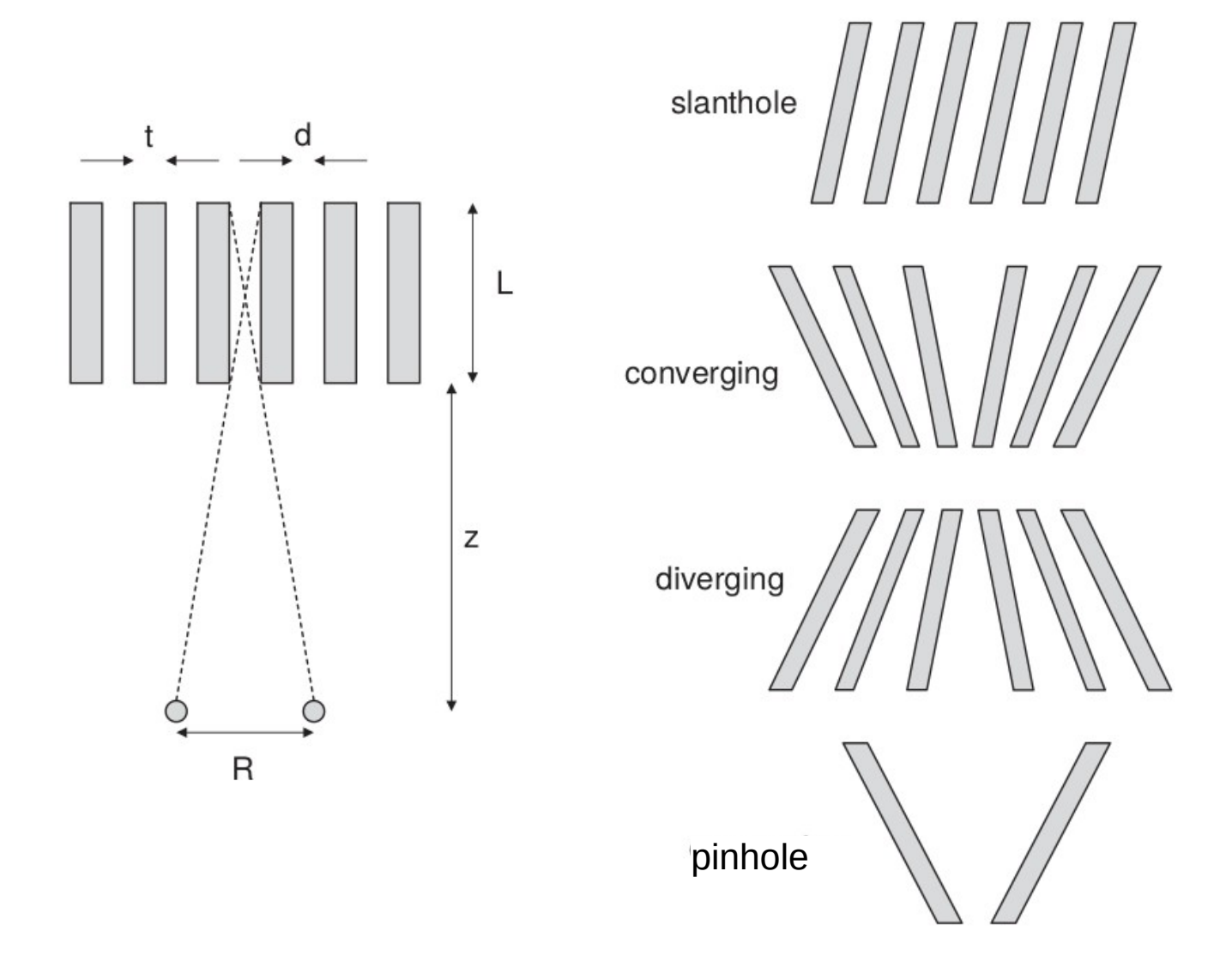
$$R = \frac{d\left(L_{eff} + z\right)}{L_{eff}}$$

Efficienza:

$$g \approx K^2 \frac{d^2}{L_{eff}^2} \frac{d^2}{(d+t)^2}$$



Collimatori





Cristallo scintillatore



Il raggio produce interazioni di tipo fotoelettrico e Compton.

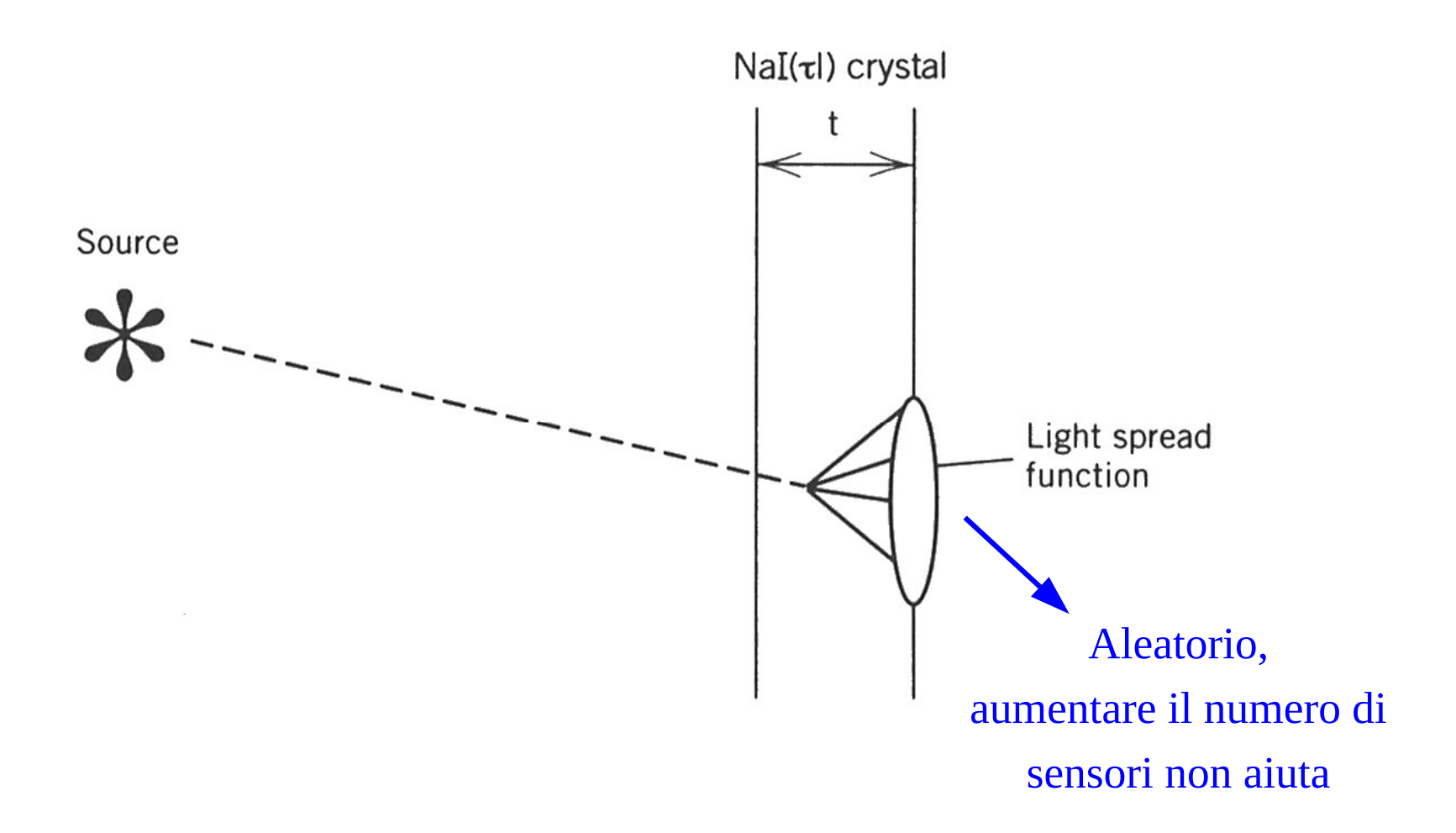
L'eccitazione termina dopo circa 230 ns con l'emissione di fotoni a lunghezza d'onda di 415 nm (luce blu) (NaI(TI)).

Dallo spessore del cristallo dipendono sensibilità e risoluzione spaziale.

Per ogni raggio poche migliaia di fotoni sono prodotti, è necessario amplificare tale segnale (PMT).

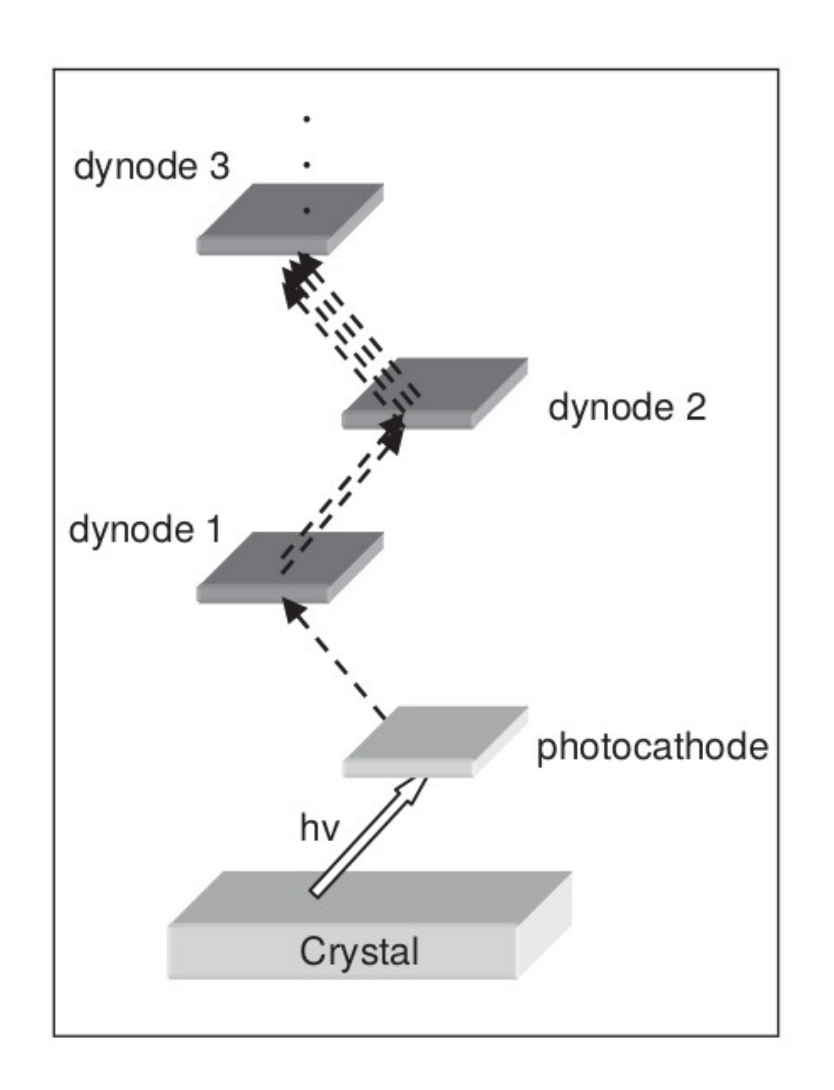


Cristallo scintillatore





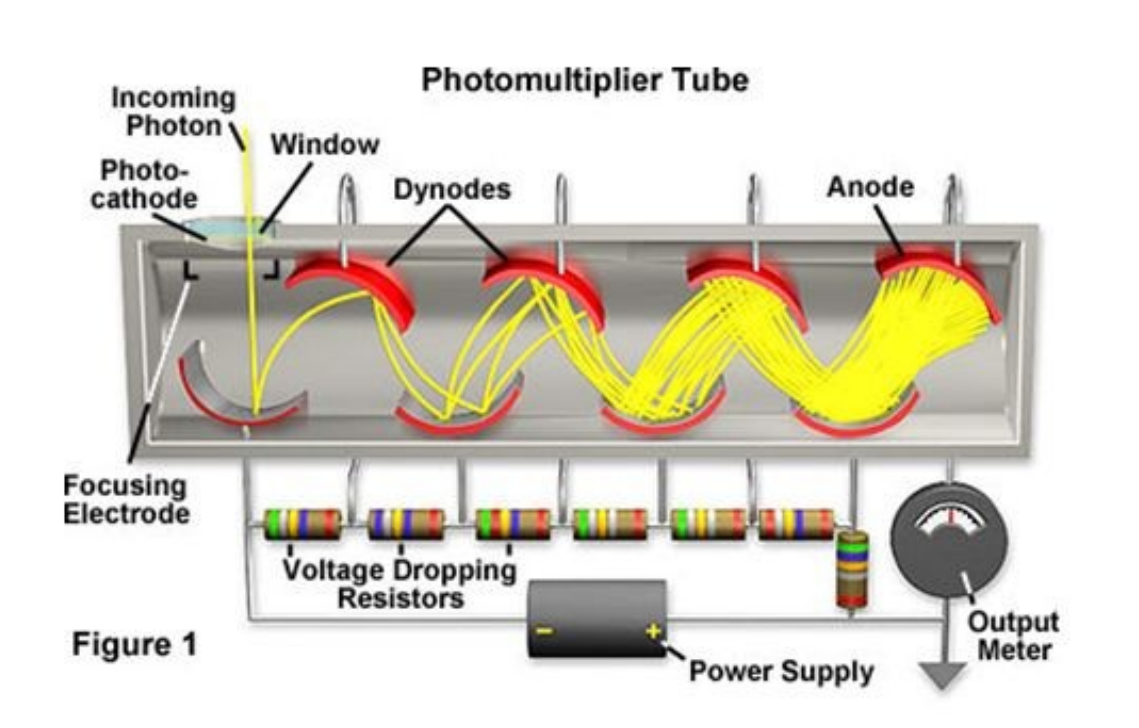
Tubo fotomoltiplicatore

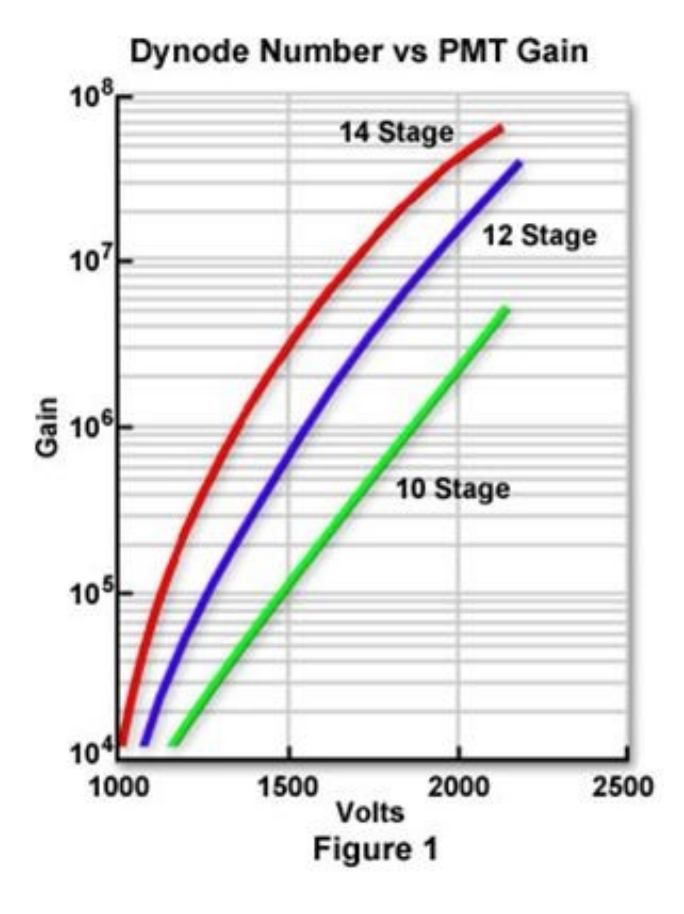






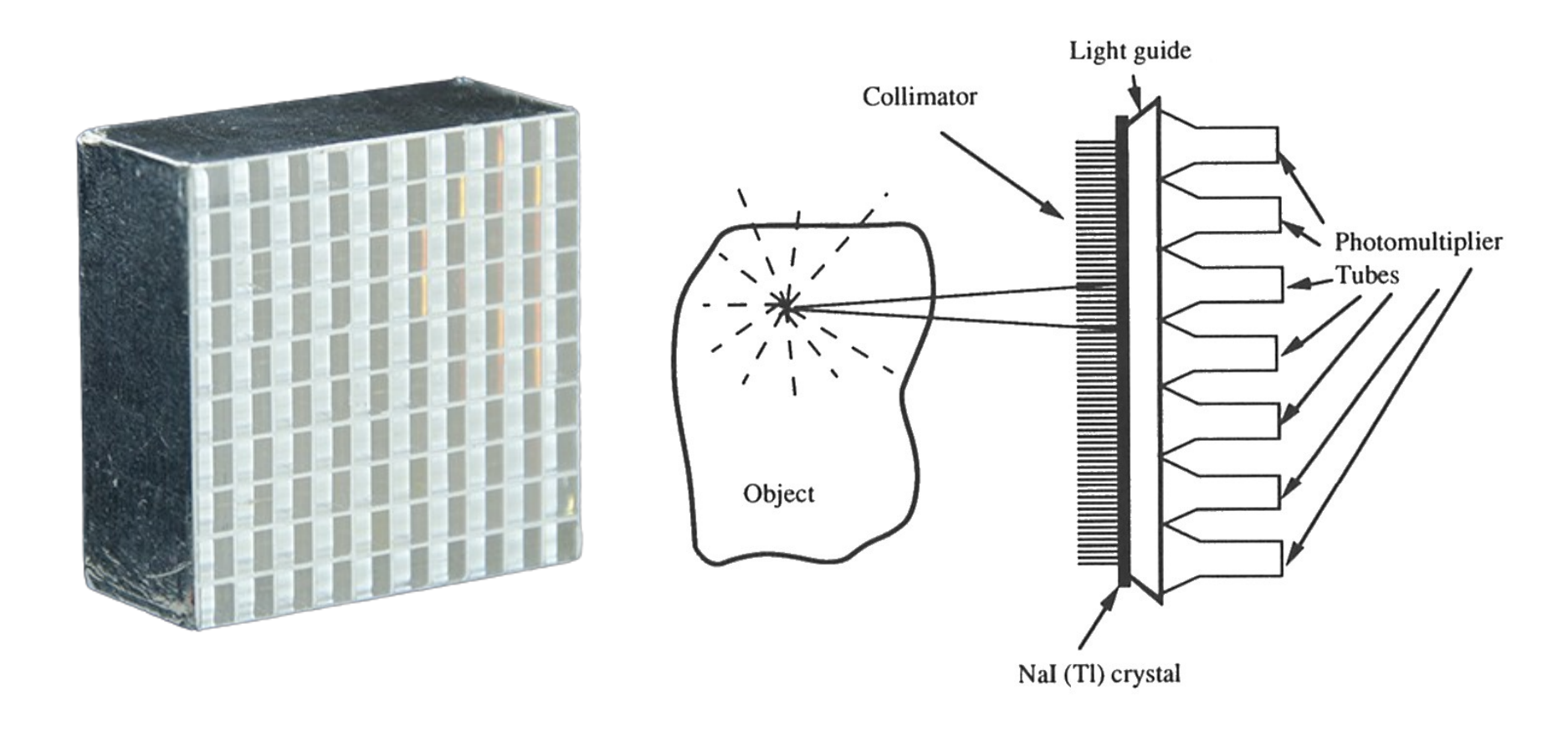
Tubo fotomoltiplicatore







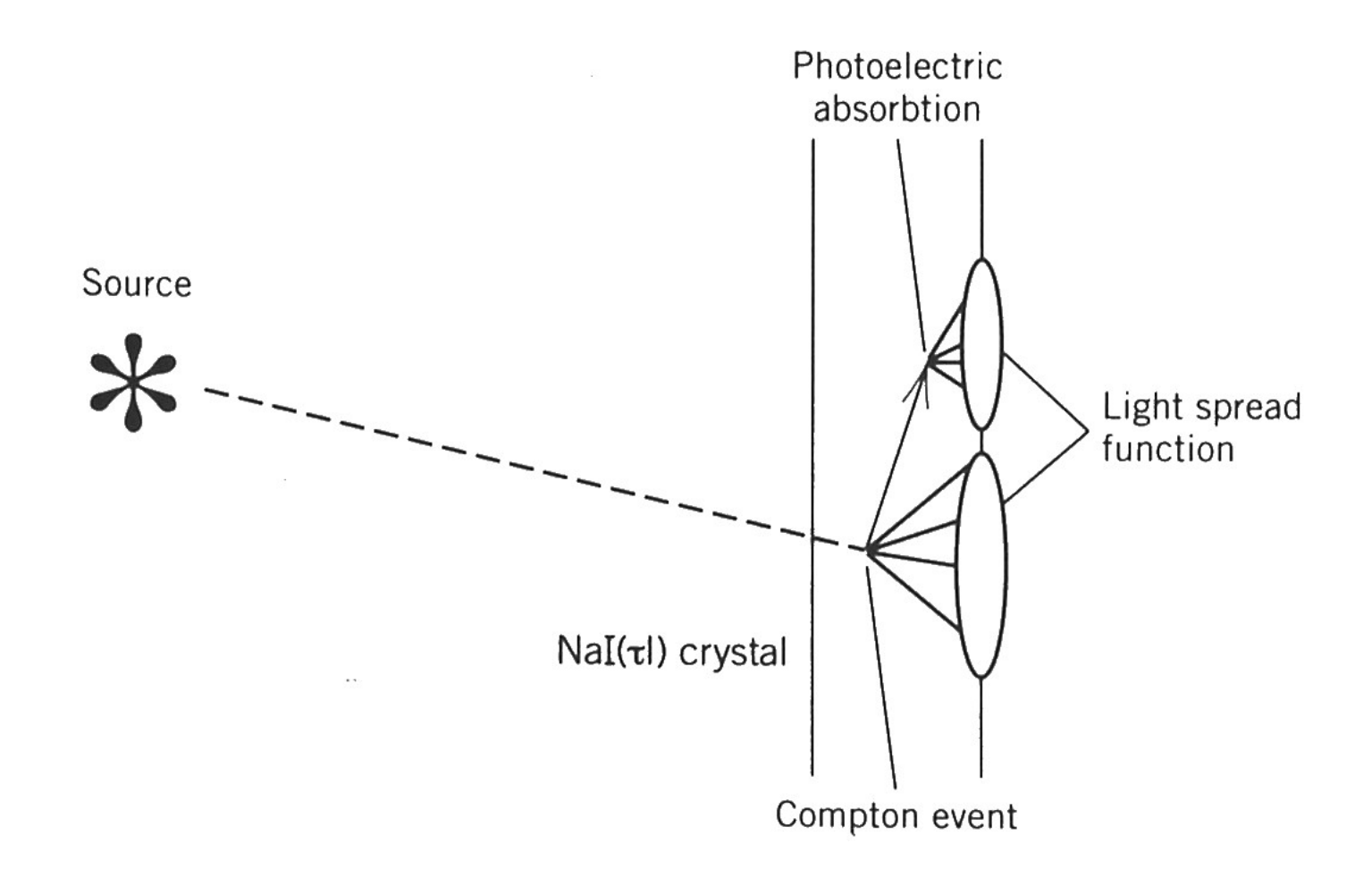
Array 2D



E' necessario che la risposta dei PMT sia costante (scarto inferiore ad 1%). La calibrazione è fondamentale.

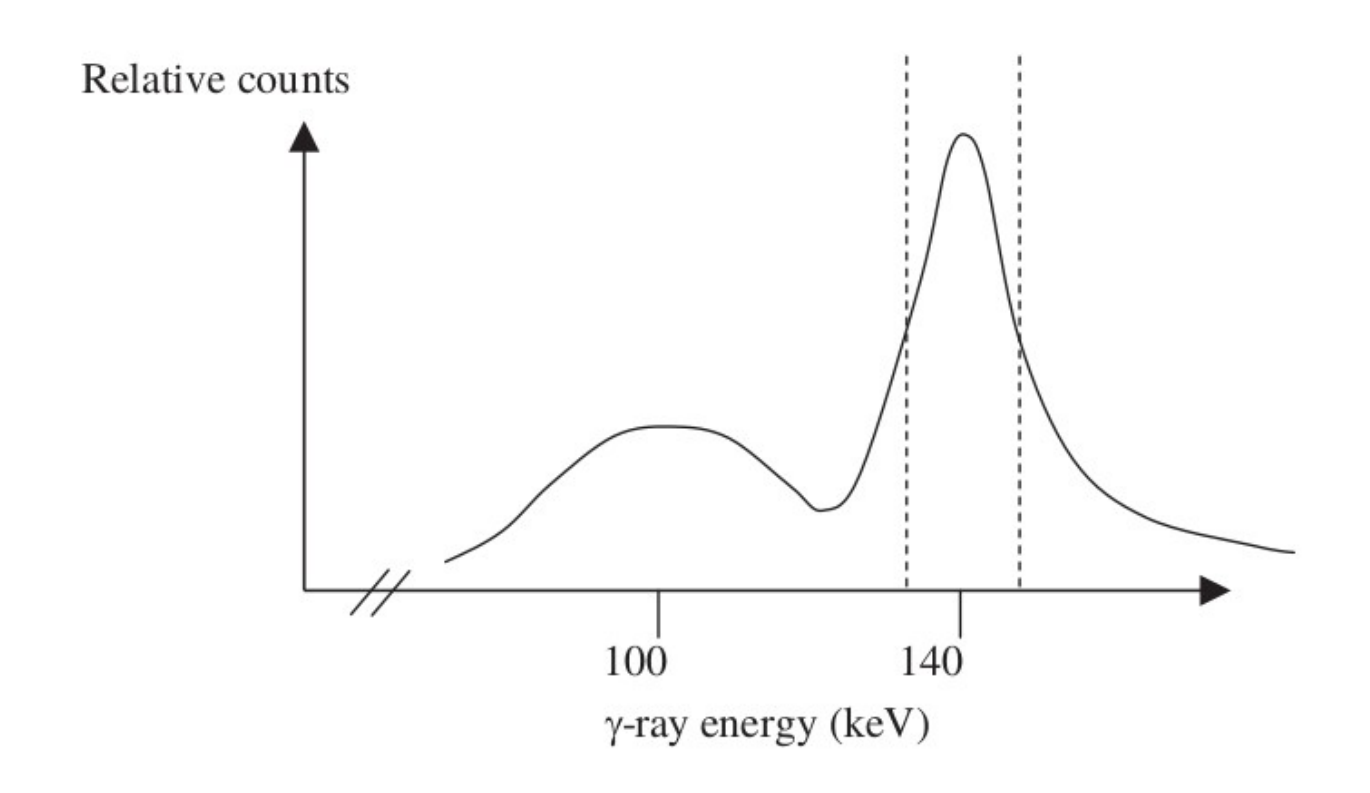


Pulse height analyzer





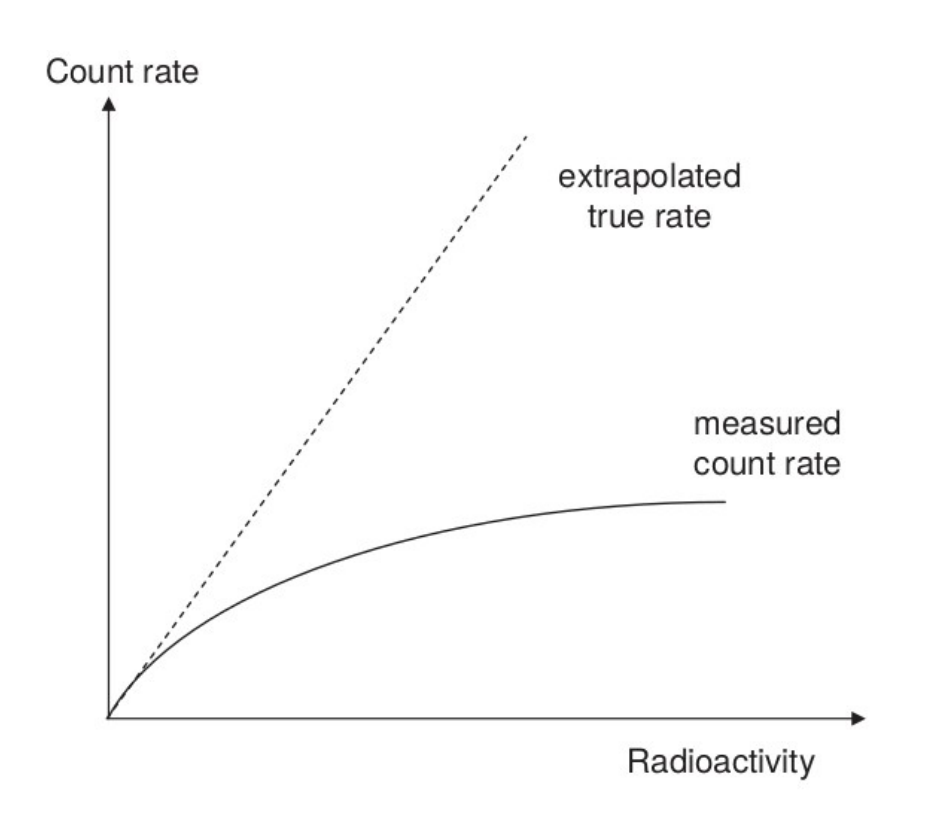
Pulse height analyzer



Discriminare fra radiazione primaria e scattering di Compton.



Instrument dead time



'dead time'

$$\tau = \frac{N-n}{nN}$$

N è il tasso di conteggio reale (numero di scintillazioni al secondo).

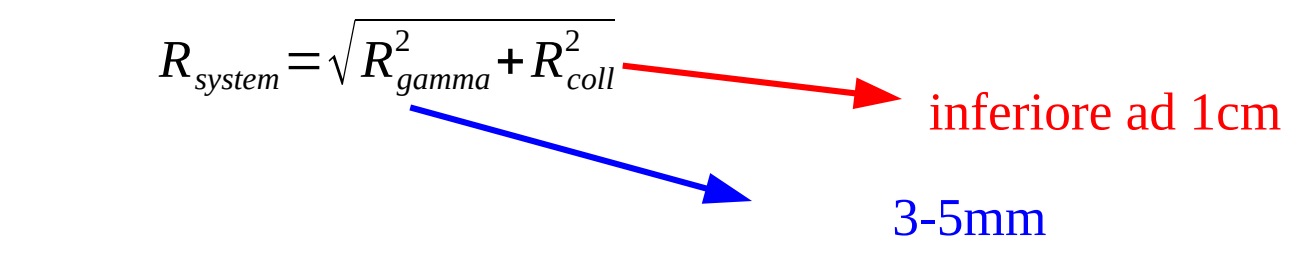
n è il tasso di conteggio misurato.

Il massimo tasso di conteggio misurabile è $1/\tau$.



Caratteristiche dell'immagine

- SNR
 - Radiotracciante (quantità e tempi)
 - Sensibilità della camera gamma
 - Filtraggio post-processing
- Risoluzione spaziale



Scattering di Compton

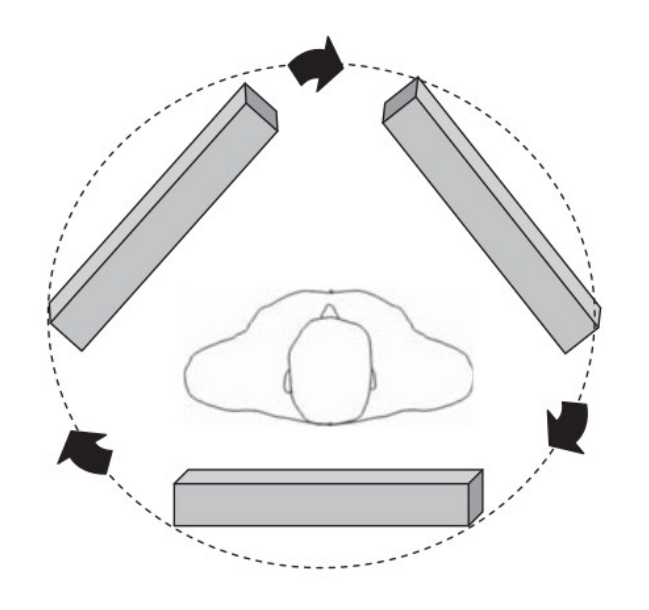


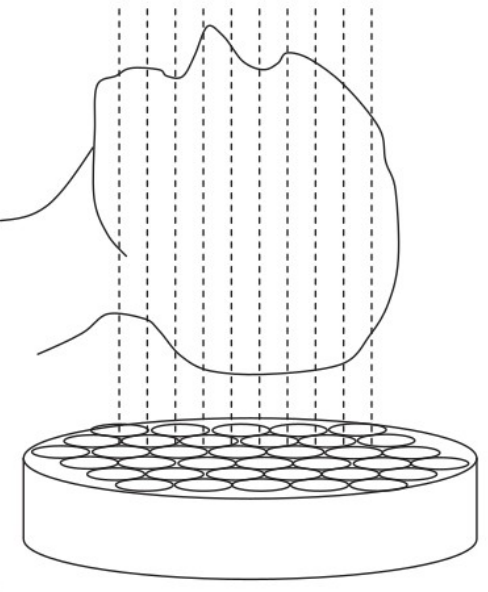
CNR

Scintigrafia planare whole-body



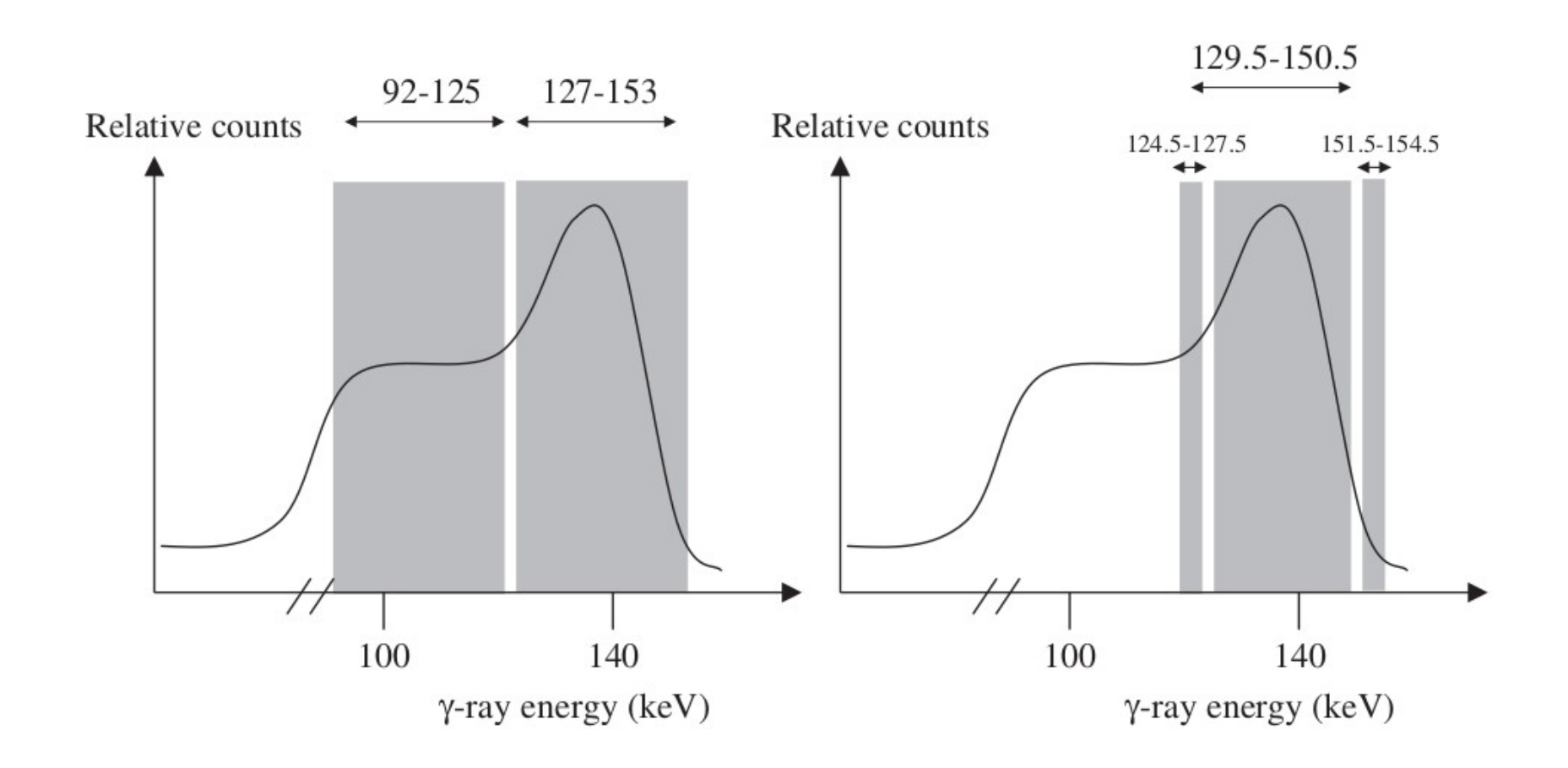






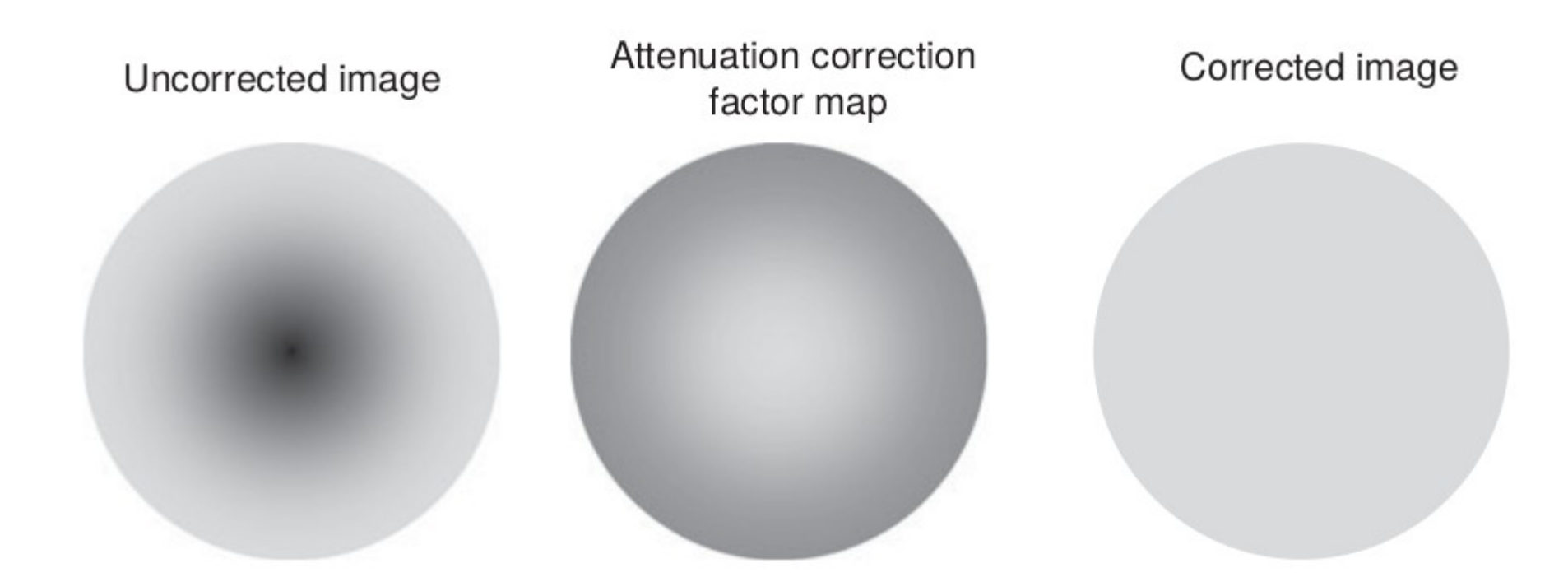






Scatter correction: dual e triple energy window

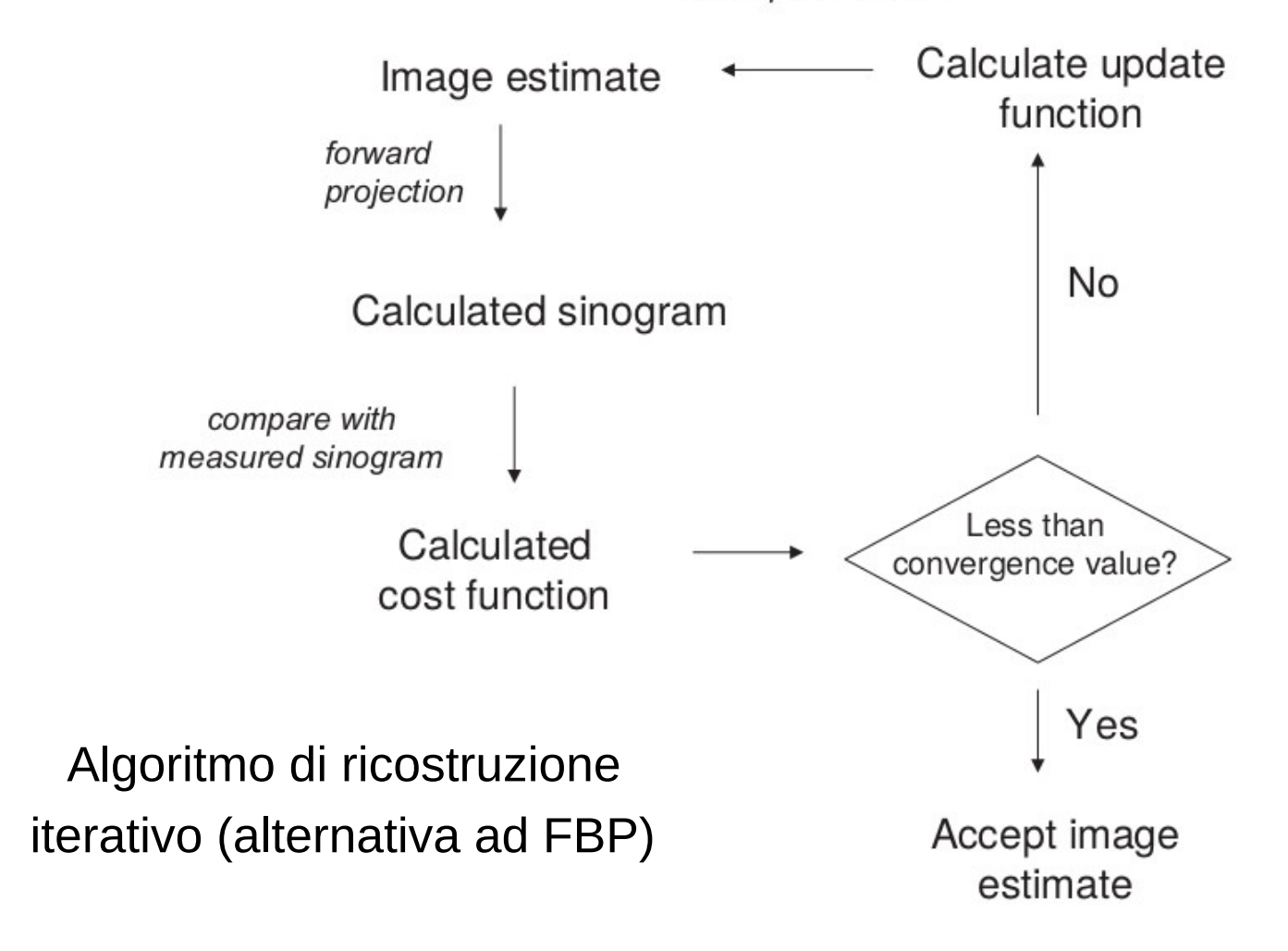




Correzione d'attenuazione

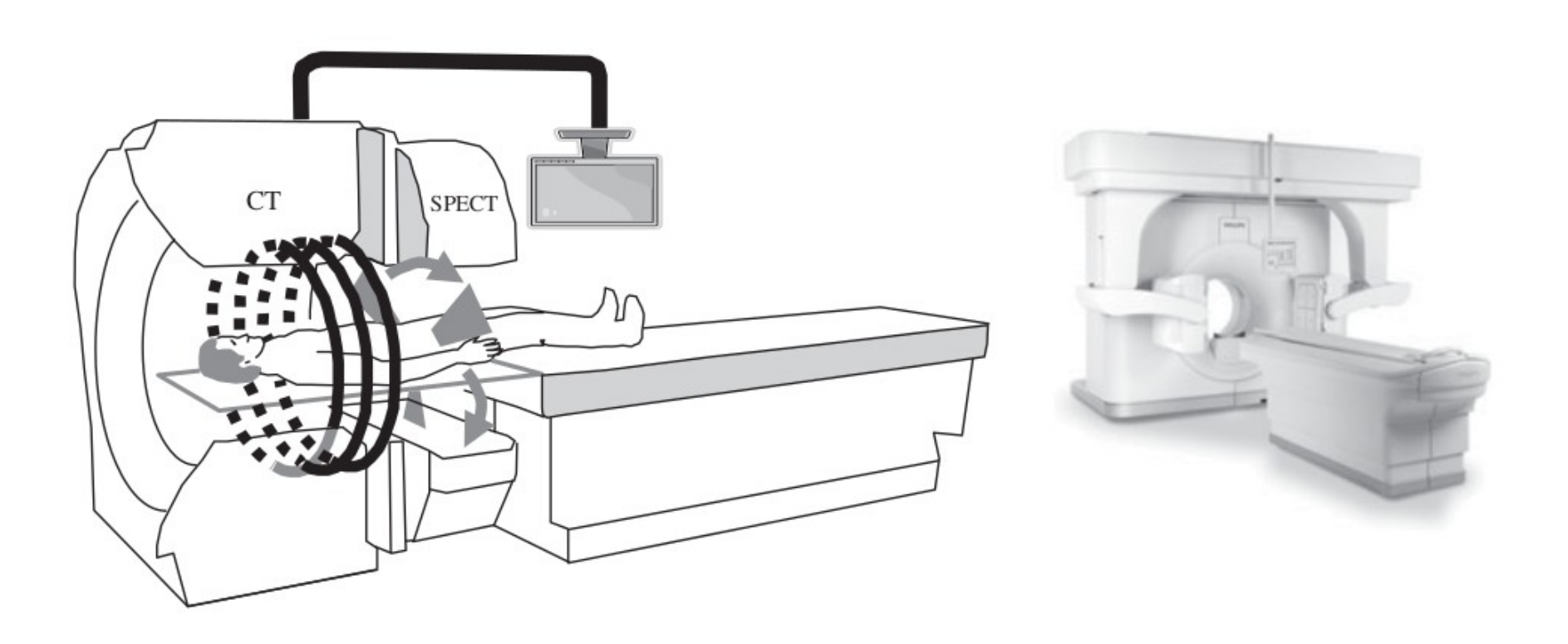


correct the image estimate with update function





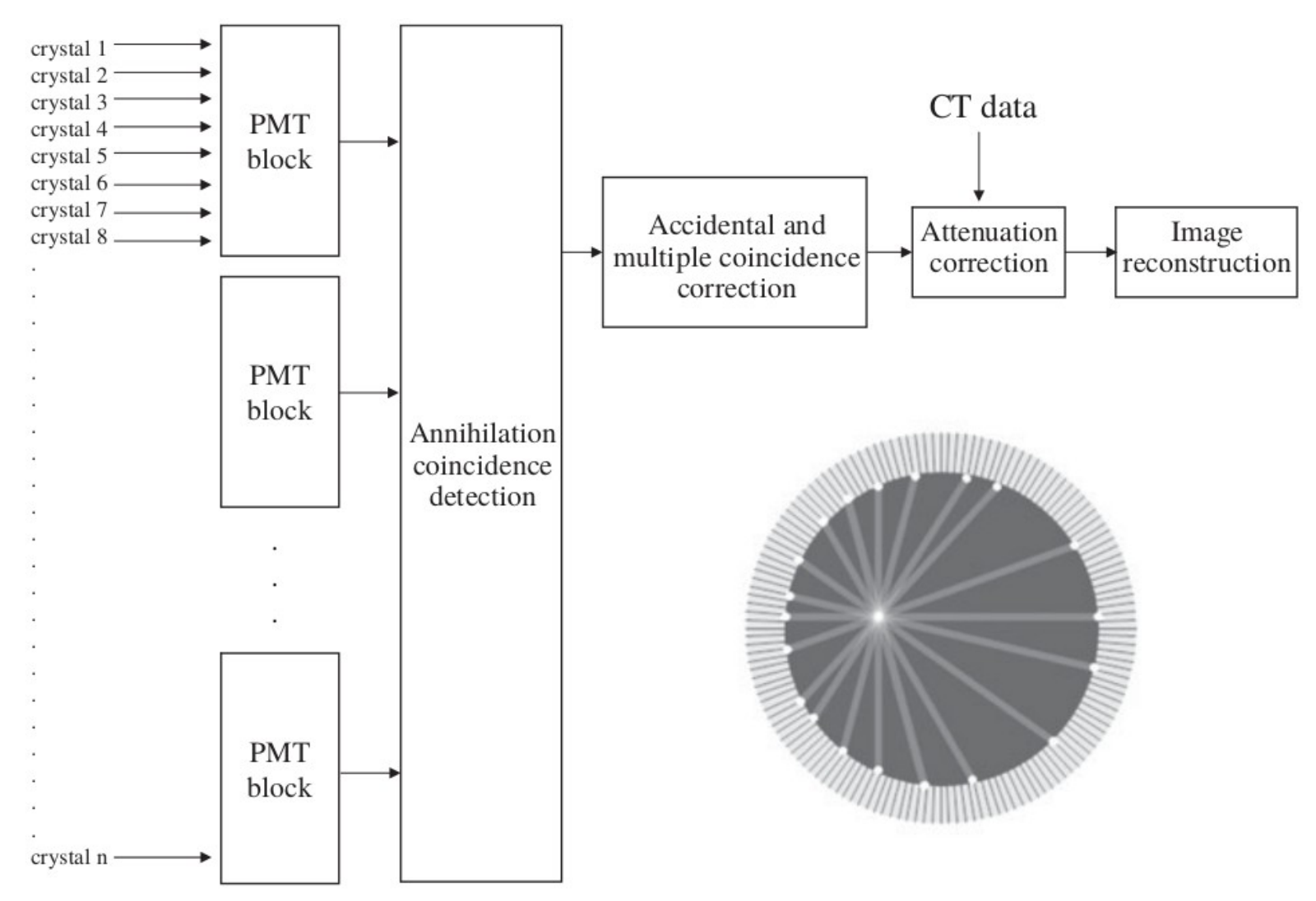
SPECT/CT



Sistema ibrido



PET





PET

Migliore SNR rispetto alla SPECT a seguito di:

- assenza di collimatori
- i raggi ad energia maggiore (511keV Vs 140 keV) hanno una attenuazione ridotta
- utilizzo di un anello di detectors



Radiotraccianti

Gli isotopi utilizzati nella PET hanno un decadimento radioattivo caratterizzato dall'emissione di un positrone (un elettrone a carica positiva).

$$_{9}^{18}\text{F} \rightarrow _{8}^{18}\text{O} + \text{e}^{+} + \text{neutrino}$$

$$^{11}_{6}\text{C} \rightarrow ^{11}_{5}\text{B} + \text{e}^{+} + \text{neutrino}$$

Dopo pochi mm (0.1-2) il positrone si tocca con un elettrone ed annichilisce emettendo due raggi γ con stessa direzione ma verso opposto ed energia pari a 511keV.



Radiotraccianti

Radionuclide	Half-life (minutes)	Radiotracer	Clinical applications
¹⁸ F	109.7	¹⁸ FDG	oncology, inflammation, cardiac viability
¹¹ C	20.4	¹¹ C-palmitate	cardiac metabolism
¹⁵ O	2.07	$H_2^{15}O$	cerebral blood flow
¹³ N	9.96	¹³ NH₃	cardiac blood flow
⁸² Rb	1.27	⁸² RbCl ₂	cardiac perfusion

Radiotraccianti PET

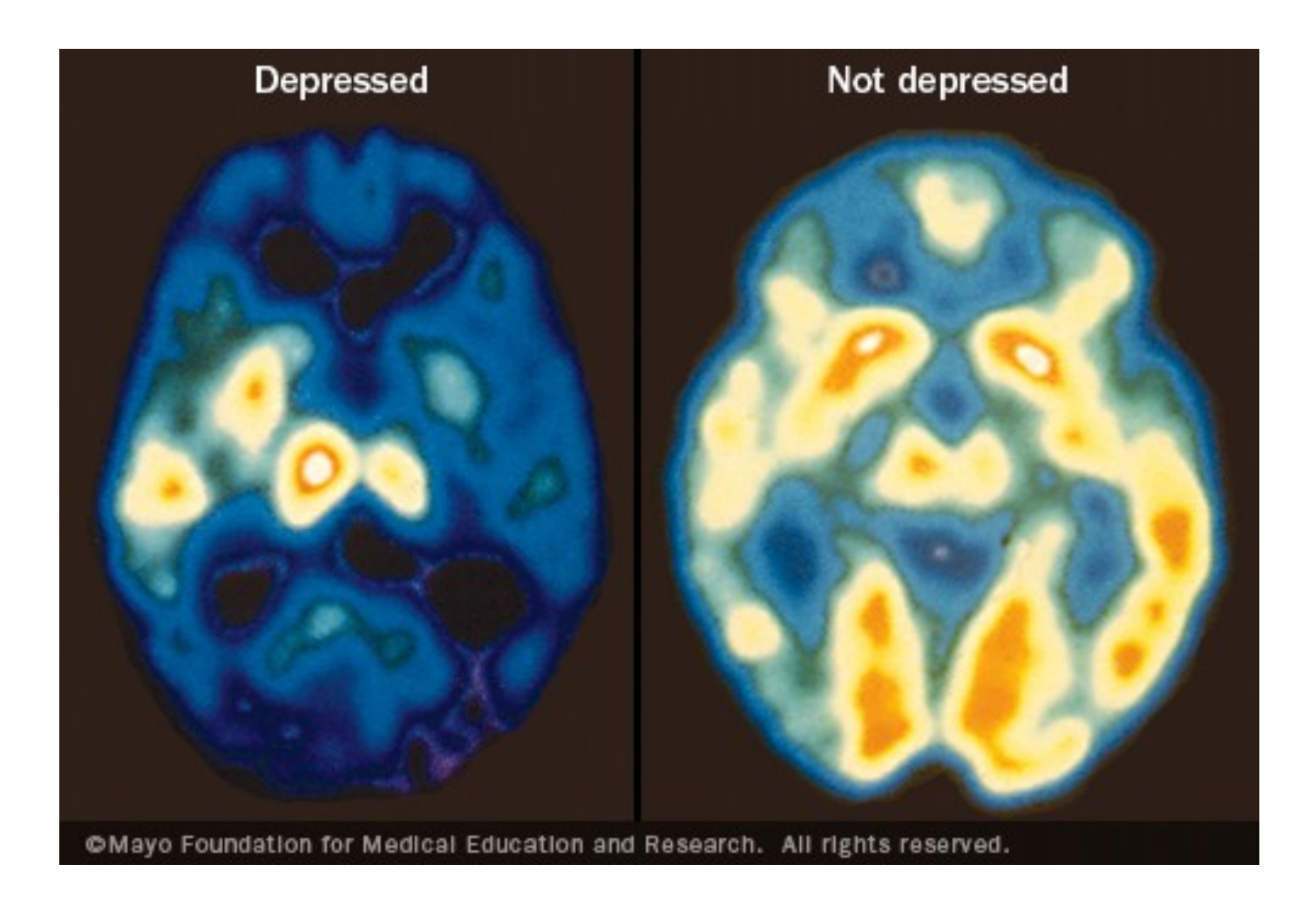


Radiotraccianti



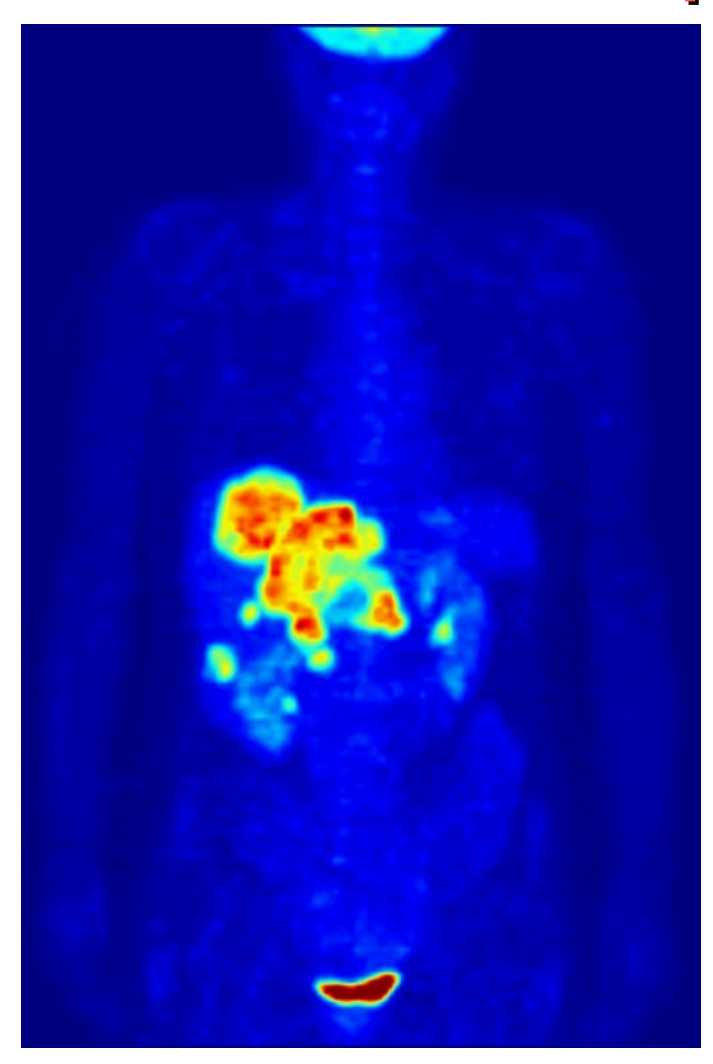
Ciclotrone: acceleratore di particelle che viene utilizzato per produrre fasci di particelle ad alta energia fondamentali per far avvenire delle reazioni nucleari. La reazione nucleare è un processo che porta alla trasformazione di un nuclide in un altro e richiede grandi quantitativi di energia (MeV).

Acquisizione PET





Acquisizione PET

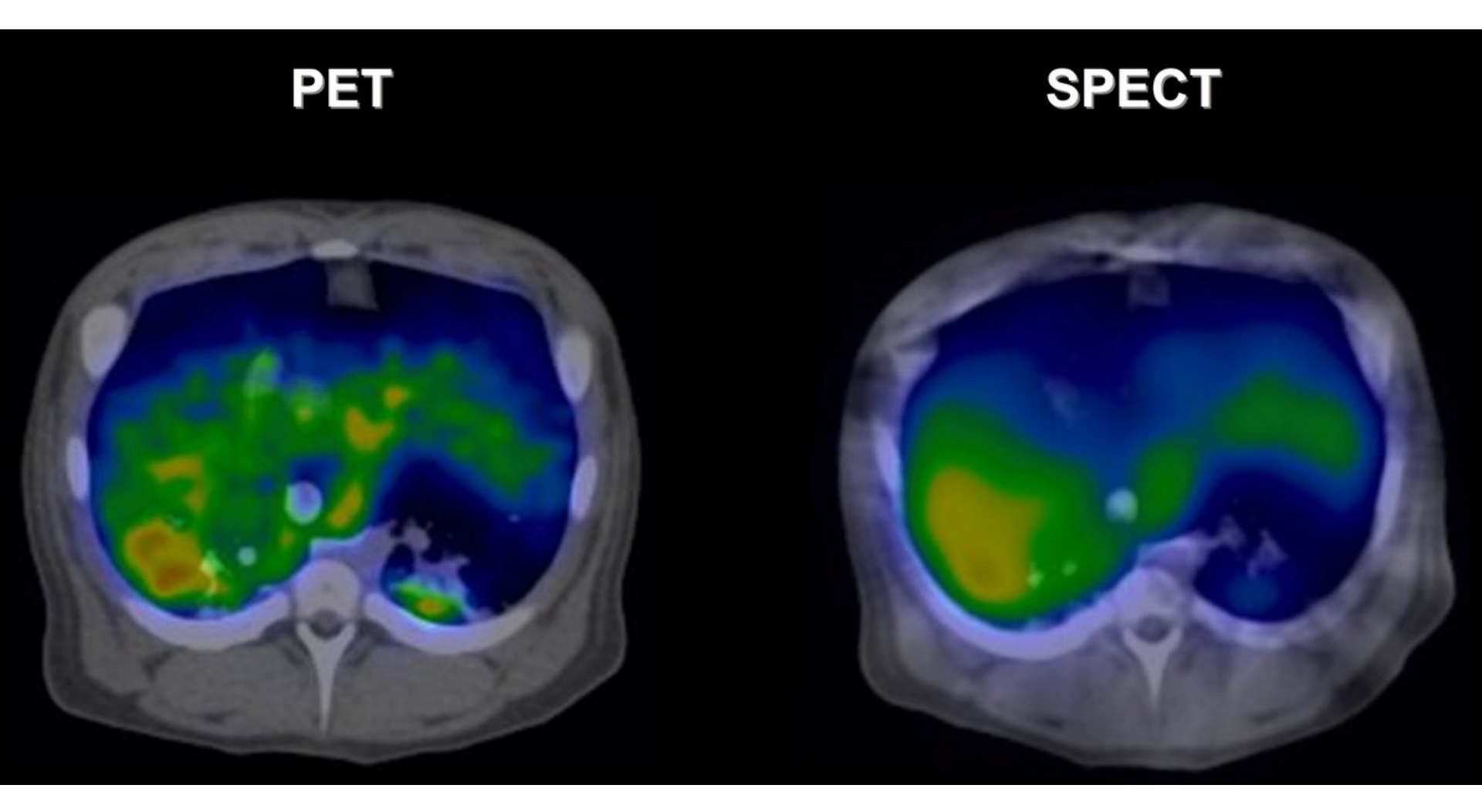


Radiotracciante: $^{18}F - FDG$

L'FDG (fluorodesossiglucosio), in quanto analogo del glucosio, viene captato in gran quantità da cellule ad alto utilizzo di glucosio, come quelle del cervello o del rene. Viene captato in gran quantità anche dalle cellule tumorali.



PET vs SPECT





Cristalli scintillatori

Il cristallo NaI(TI) utilizzato nella SPECT ha una efficienza molto bassa a 511 keV (dovrebbe essere troppo spesso). Il cristallo ideale dovrebbe avere le seguenti caratteristiche

- alta efficienza di detection
- tempo di decadimento molto ridotto
- alta intensità di emissione
- emissione a 400nm (massima sensibilità per i PMT)
- trasparenza a 400nm
- indice di rifrazione vicino ad 1.5 (massimo trasferimento verso i PMT)

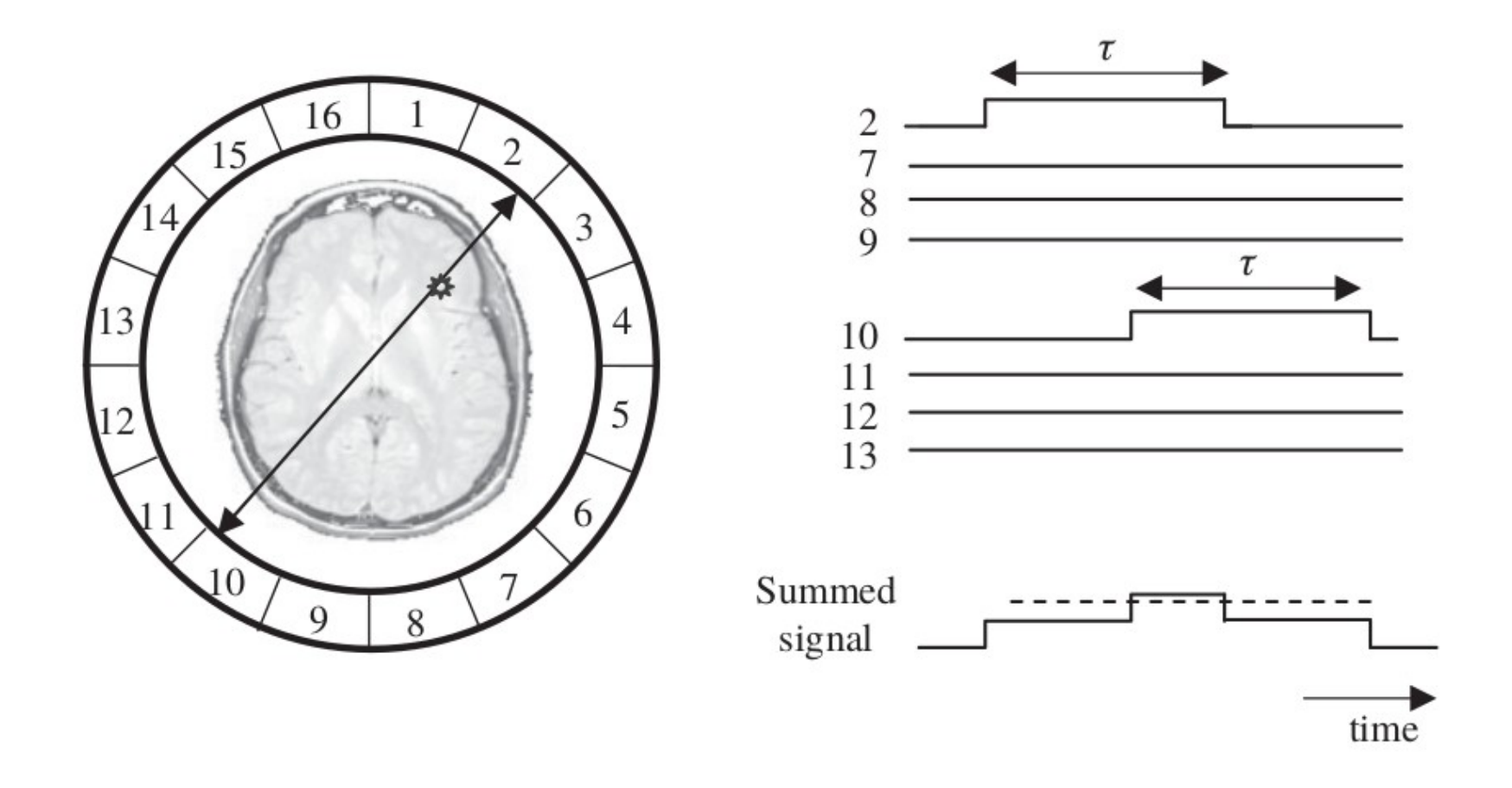


Cristalli scintillatori

	Decay time (ns)	Emission intensity	Efficiency (ϵ^2)	λ _{emitted} (nm)	η
BGO	300	0.15	0.72	480	2.15
LSO(Ce)	40	0.75	0.69	420	1.82
BaF ₂	0.8 _{prim} , 600 _{sec}	0.12	0.34	220, 310	1.49
GSO(Ce)	60 _{prim} , 600 _{sec}	0.3	0.57	430	1.85
NaI(TI)	230 _{prim} , 10 ⁴ _{sec}	1.0	0.24	410	1.85



PET



Coincidenze – ACD (Annihilation Coincidence Detection)



Correzioni necessarie prima della formazione dell'immagine:

- Correzione della attenuazione
- Correzione di coincidenze accidentali e multiple
- Correzione di coincidenze riflesse
- Correzione per il dead time

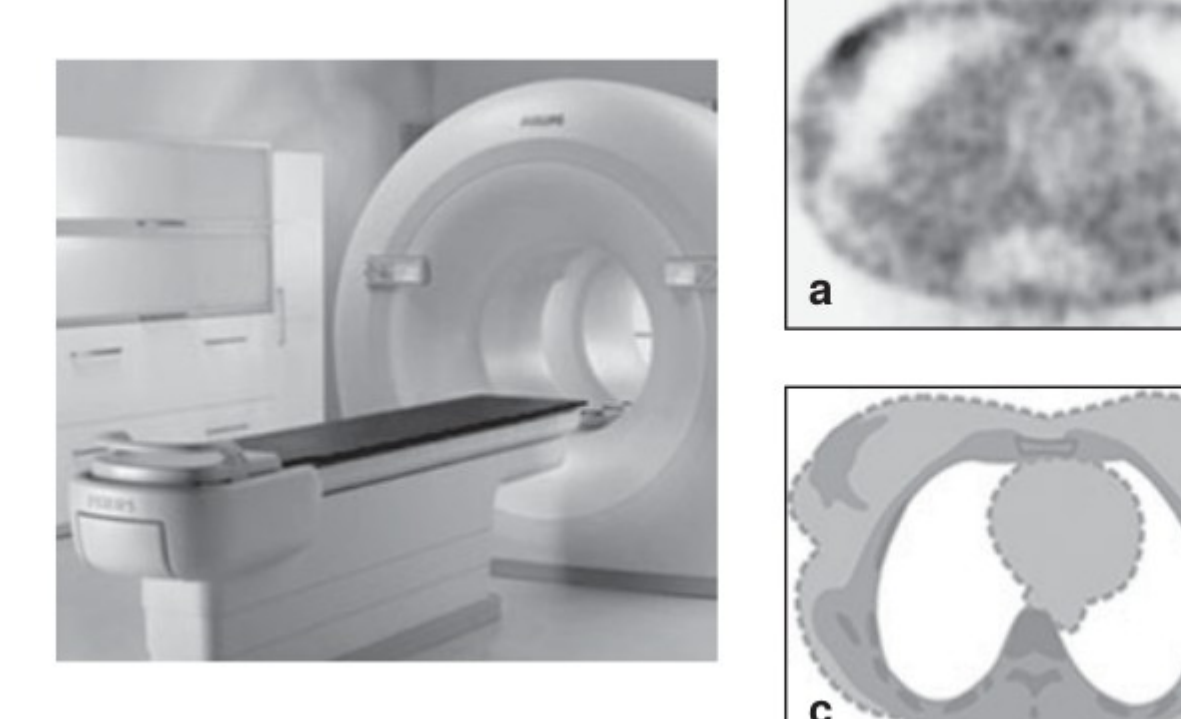


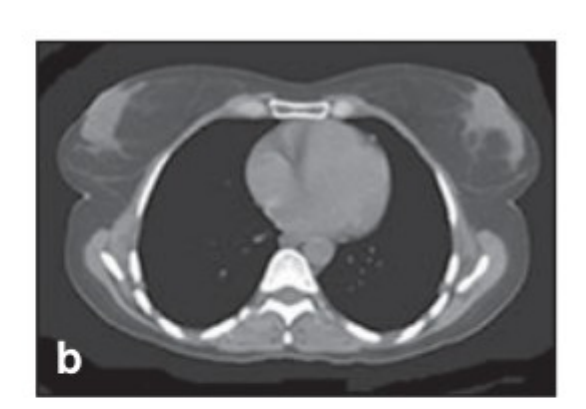
Correzione della attenuazione

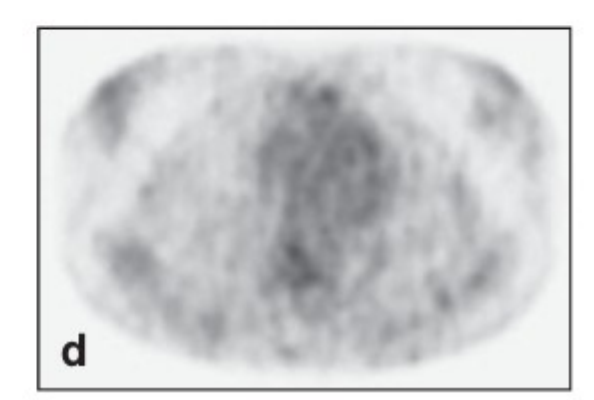
- Calibrazione con sorgente secondaria di raggi gamma.
- Sistemi PET/CT: La scansione CT consente di avere un modello anatomico accurato per compensare l'attenuazione del segnale.



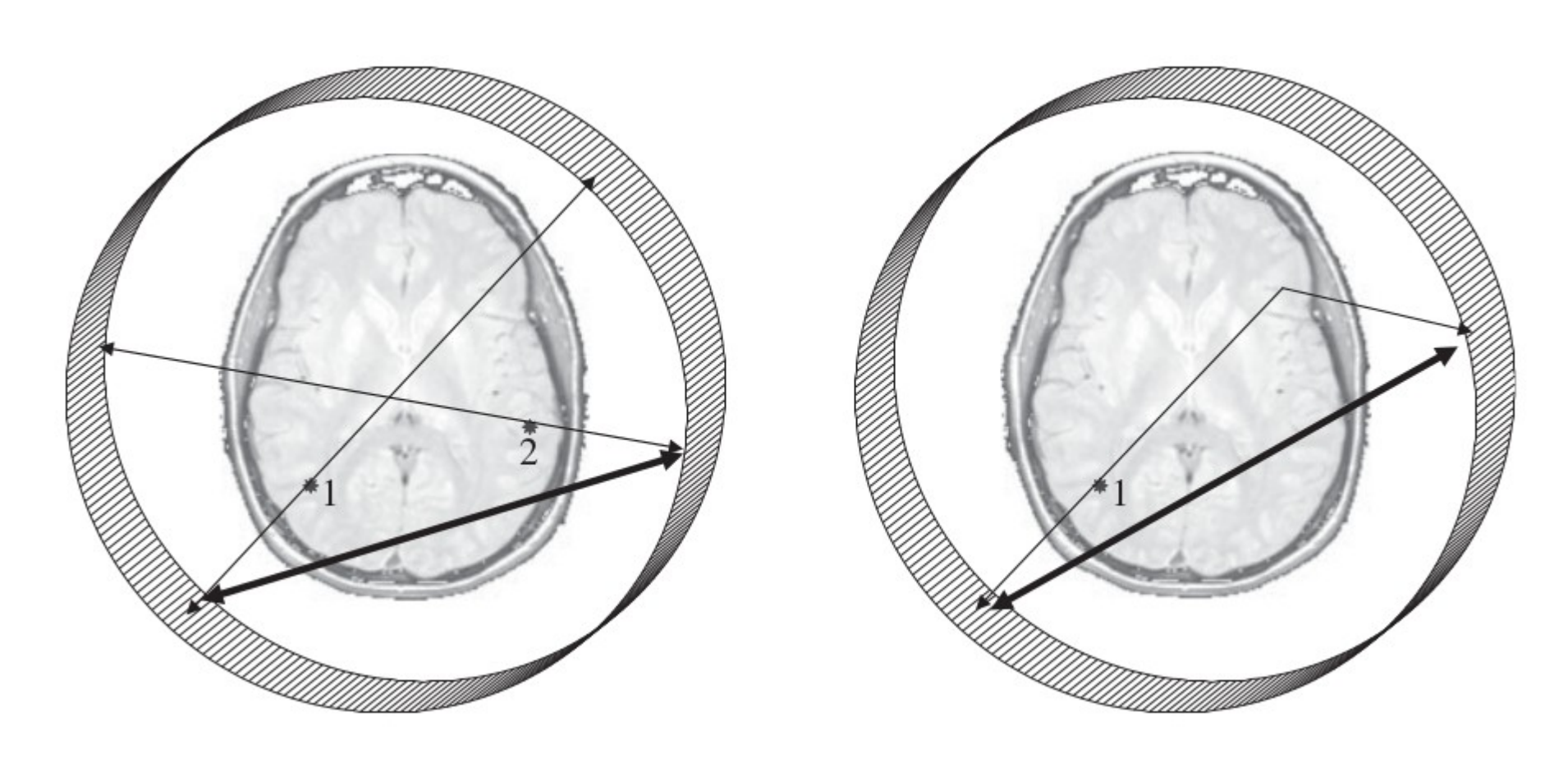
PET/CT







Sistema ibrido: (a) acquisizione PET senza correzione d'attenuazione, (b) acquisizione CT, (c) mappa di attenuazione stimata dalla CT e (d) immagine PET corretta.



Coincidenze accidentali e riflesse



Correzione delle coincidenze accidentali e delle coincidenze multiple:

- Secondo timer di durata maggiore per cancellare le detection 'sospette'.
- Metodo basato sul conteggio degli eventi dei singoli detector.
 Per compensare le coincidenze accidentali, ne stimiamo il numero:

$$C_{ij}^{acc} = 2\tau R_i R_j$$

Dove $R_{_{\! i}}$ è il numero di detections del cristallo i. Stimiamo anche il numero di coincidenze multiple:

$$M_{ij} \approx C_{ij} \tau R_{ij} N_{ij}$$

dove N_{ij} è il numero di detectors che opera in coincidenza con i detectrors i e j.



Correzione delle coincidenze riflesse:

- All'interno del corpo
- All'interno dei cristalli scintillatori

Soluzioni possibili:

- Misura delle coincidenze fuori al corpo → fitting gaussiano
 → compensazione
- Utilizzo di due finestre ad energie diverse
- Metodi di stima iterativa



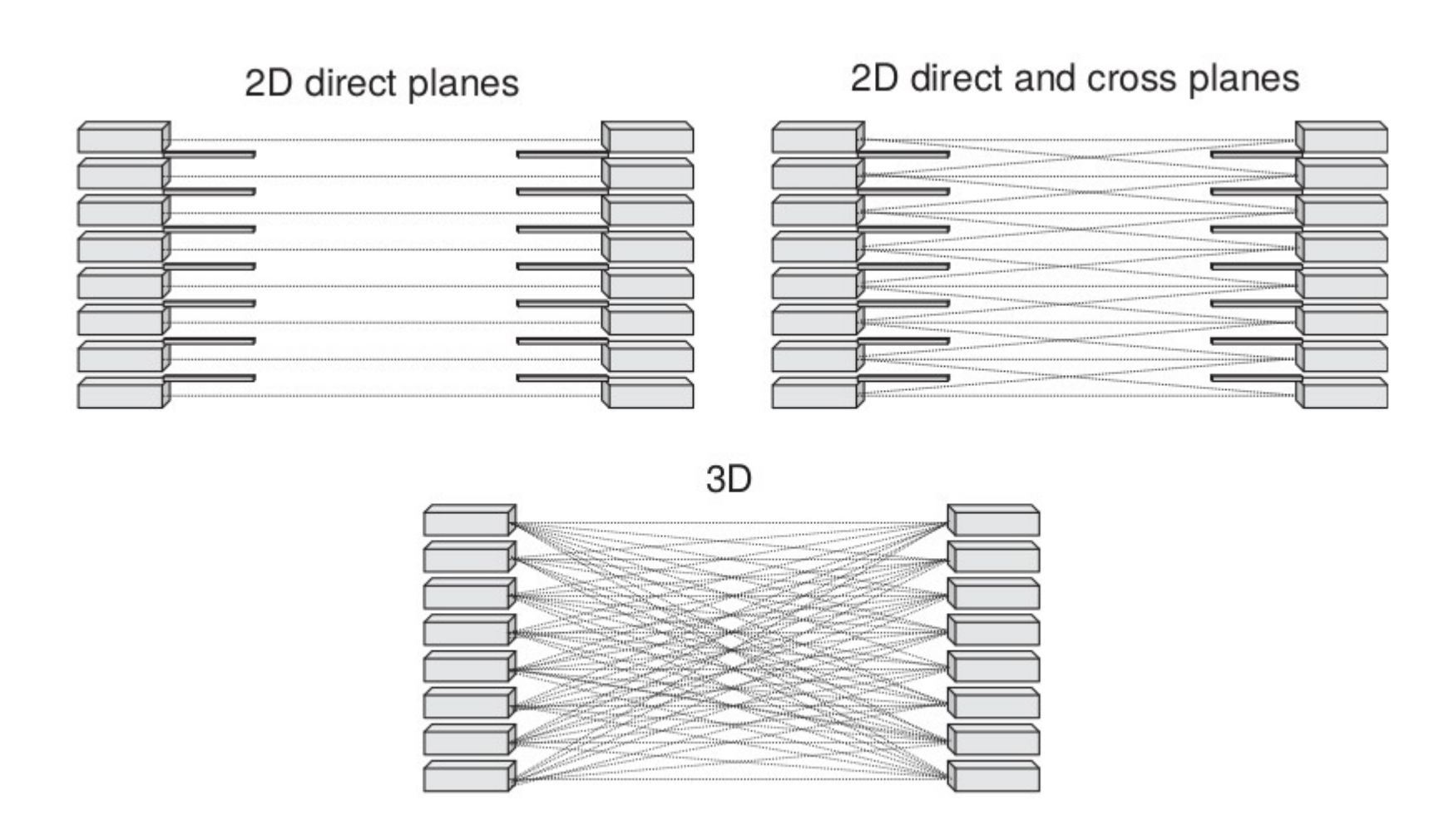
3 fattori influenzano il dead time:

- tempo di integrazione dei PMT
- tempo di elaborazione delle coincidenze
- presenza di coincidenze multiple

Generalmente si stimano questi 3 valori per compensare il segnale a valle dell'acquisizione.



PET 2D e 3D





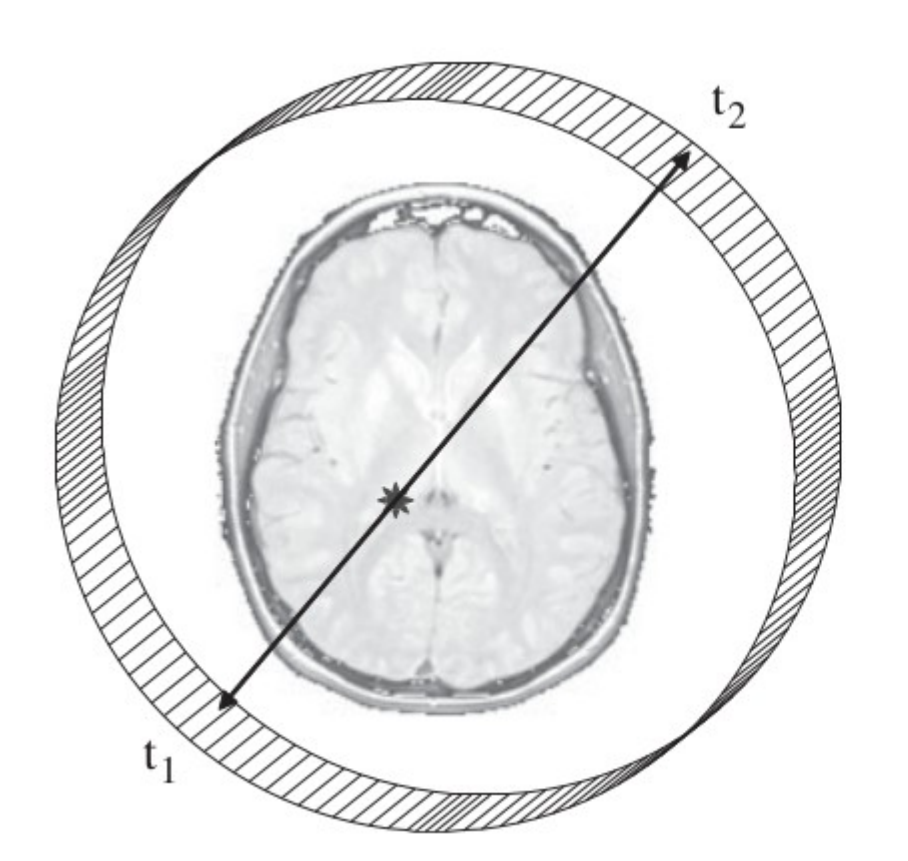
Caratteristiche dell'immagine

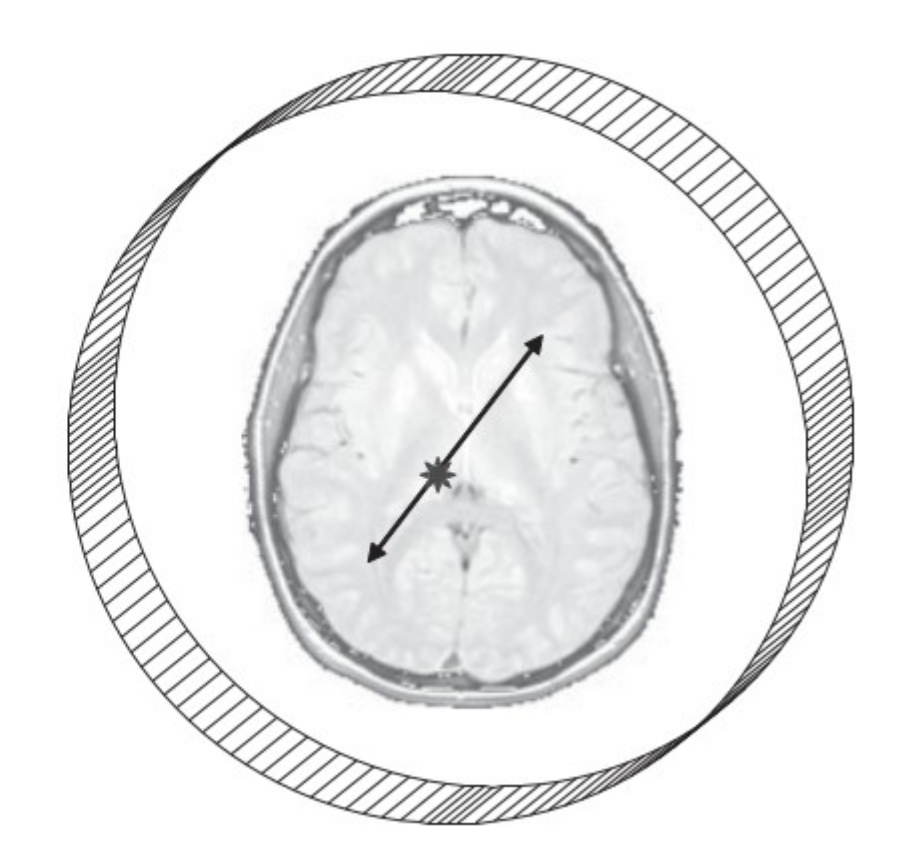
- SNR
- CNR
- Risoluzione spaziale
 - percorso del positrone
 - \succ non collinearità dei raggi γ
 - dimensioni del cristallo detector

$$R_{system} \approx \sqrt{R_{detector}^2 + R_{range}^2 + R_{180}^2}$$



PET

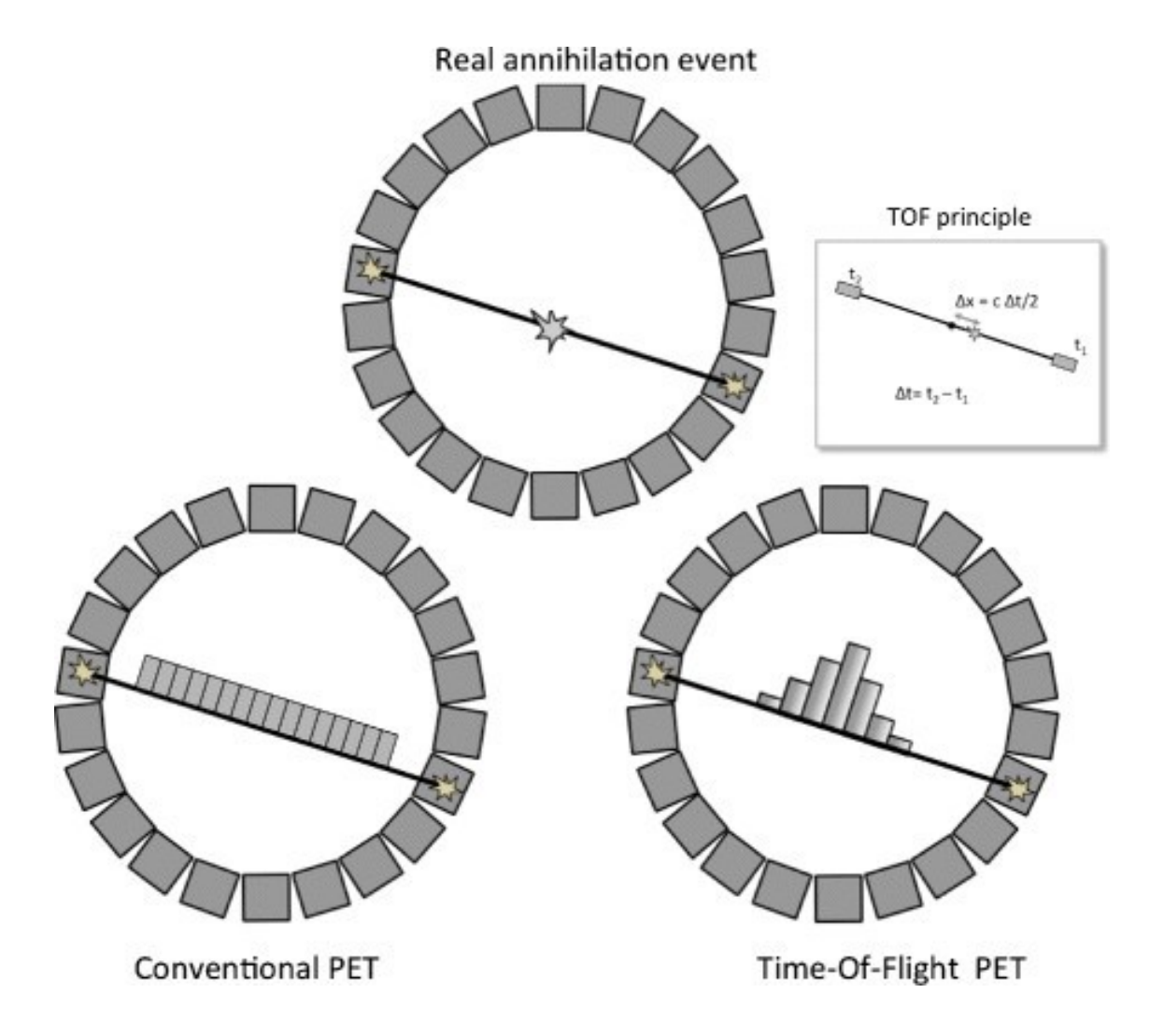




Time of flight PET



TOF PET





TOF PET

La risoluzione ottenibile è legata alla precisione con cui viene misurato il ritardo:

$$\Delta x = \frac{c \Delta t}{2}$$

Considerando un cristallo LSO, la risoluzione temporale è di circa 500 ps (per un BGO è di 3ns), pari ad una risoluzione di 7.5 cm.

Diminuisce il rumore statistico. Si parla di un fattore di riduzione della varianza di rumore pari a:

$$f = \frac{D}{\Delta x} = \frac{2D}{c \Delta t}$$

dove *D* indica la dimensione del paziente.



TOF PET

